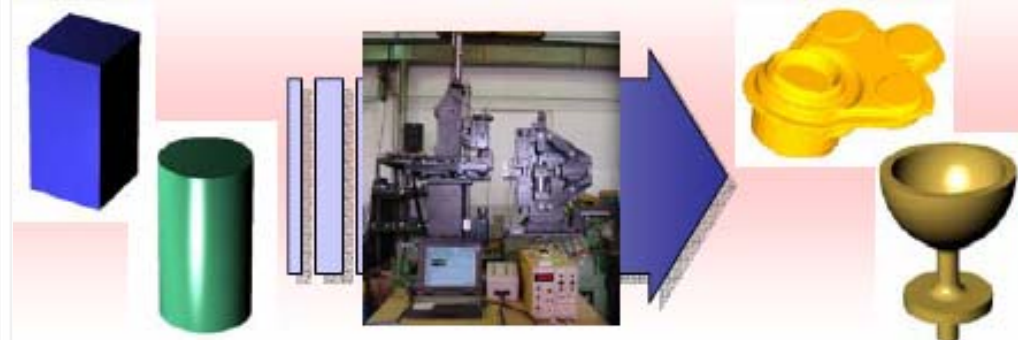


# *NAPREDNE METODE TEHNOLOGIJE PLASTIČNOG DEFORMISANJA*

dr Mladomir Milutinović, vanredni profesor  
dr Marko Vilotić, docent



## **Uvodne napomene**

### **Predavanja**

Dr Mladomir Milutinović, vanredni profesor

Dr Marko Vilotić, docent

### **Vežbe**

Dr Mladomir Milutinović, vanredni profesor

Dr Marko Vilotić, docent

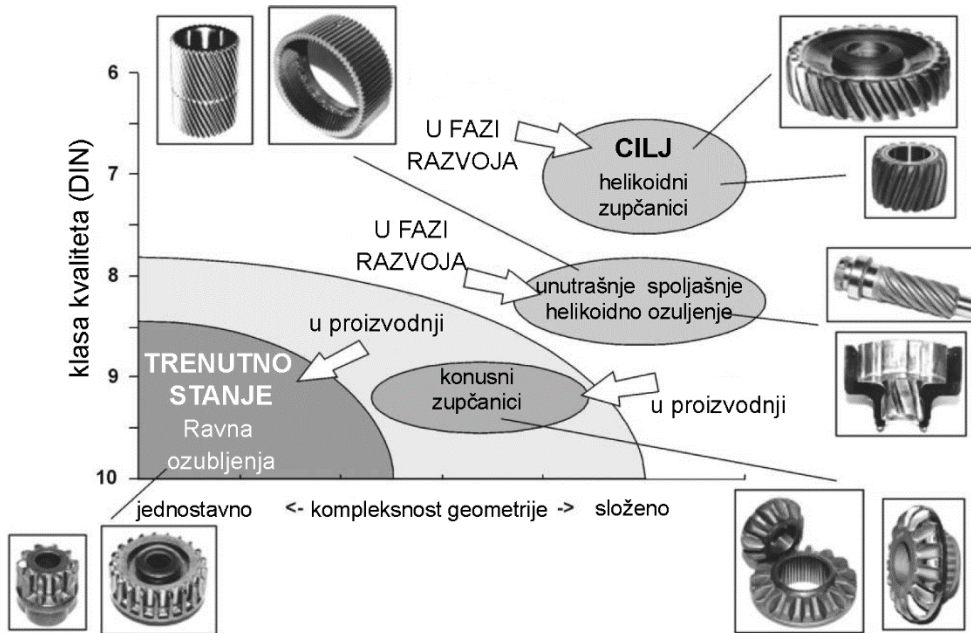
Nemanja Dačević, student doktorskih studija

### **Literatura:**

1. Knjiga - Mladomir Milutinović, Milija Krašnik: Nekonvencionalni postupci obrade plastičnim deformisanjem
2. Knjiga - Branislav Devedžić: Osnovi teorije plastičnog deformisanja materijala
3. Skripte
4. Ostali nastavni materijal

Nastavni materijal: <http://www.dpm.ftn.uns.ac.rs/sr/studenti/nastavni-materijal/cetvrta-godina-oas/napredne-metode-tehnologije-plasticnog-deformisanja>

# TRENDÖVI RAZVOJA TPD

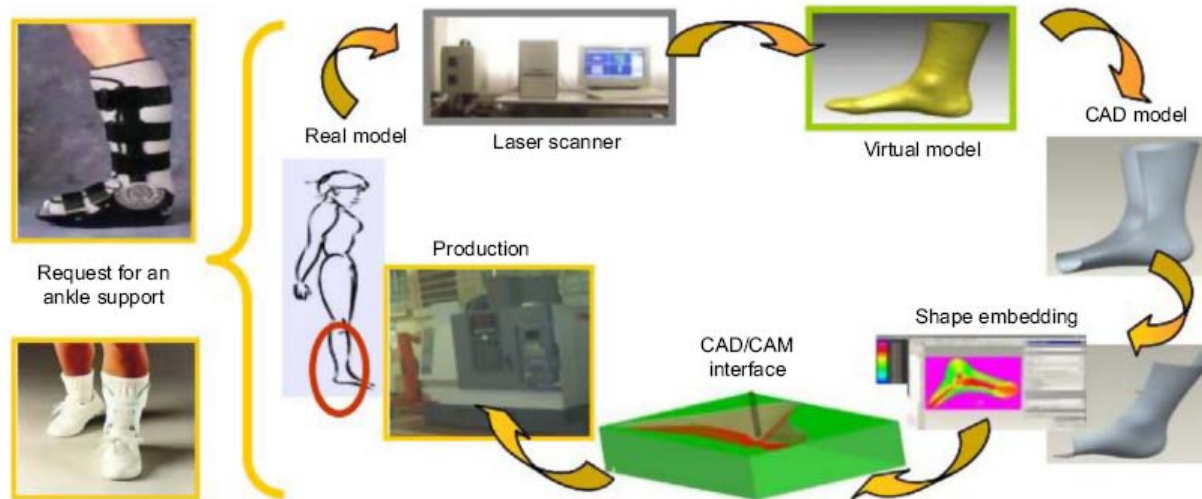
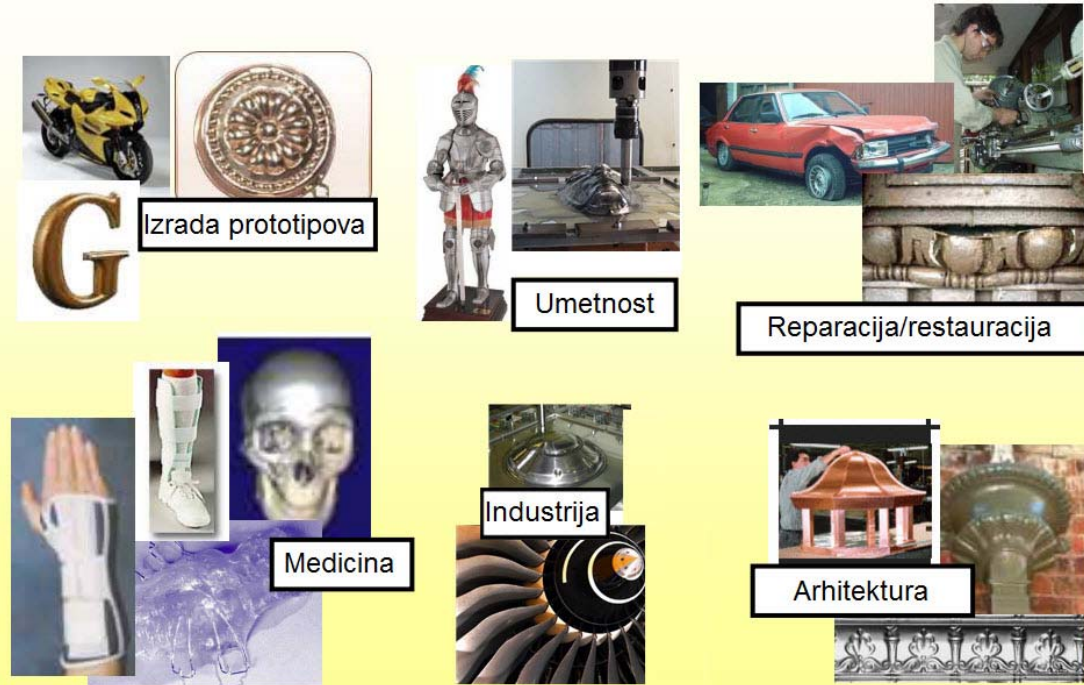
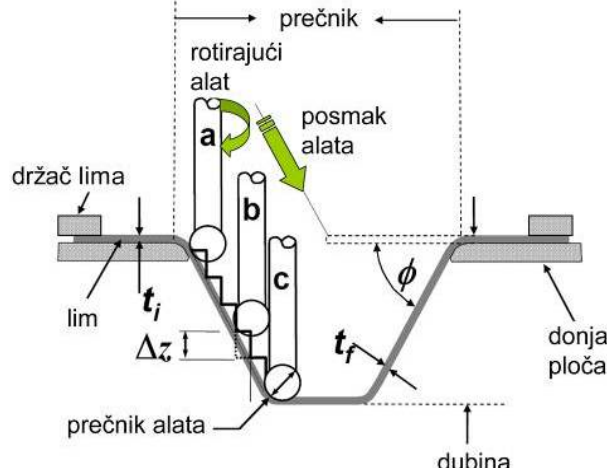


**KONCEPT ODRŽIVE PROIZVODNJE!!!**

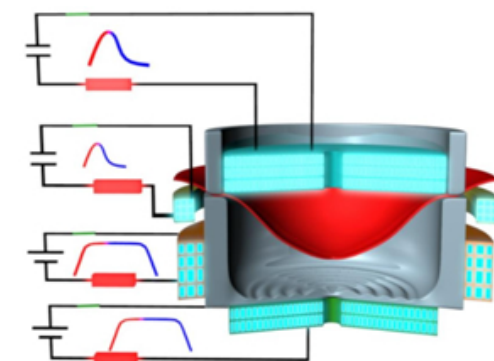
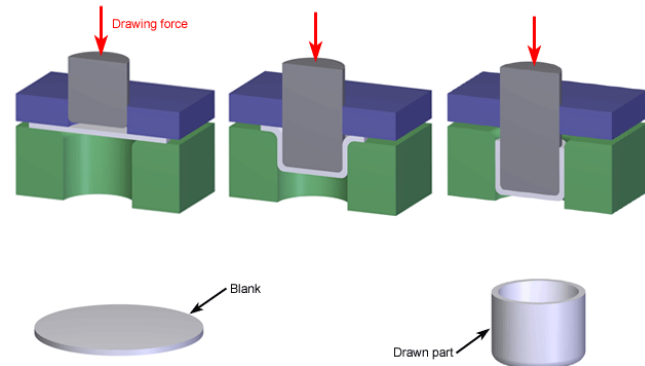
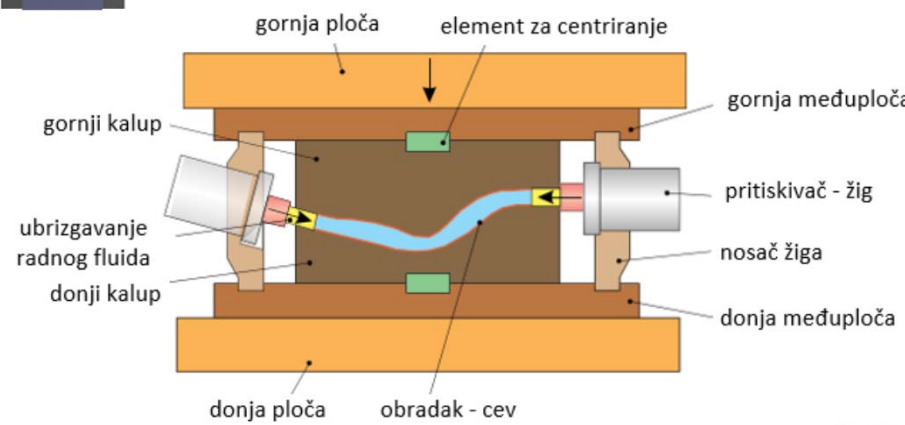
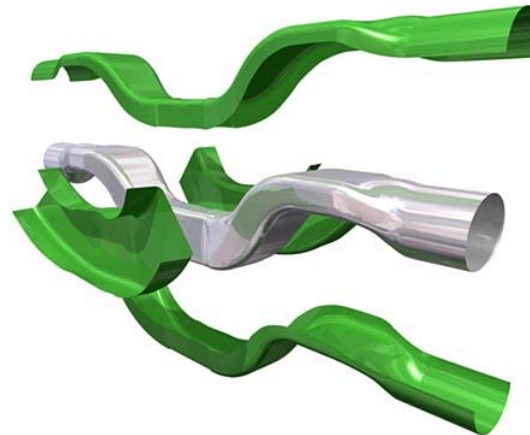
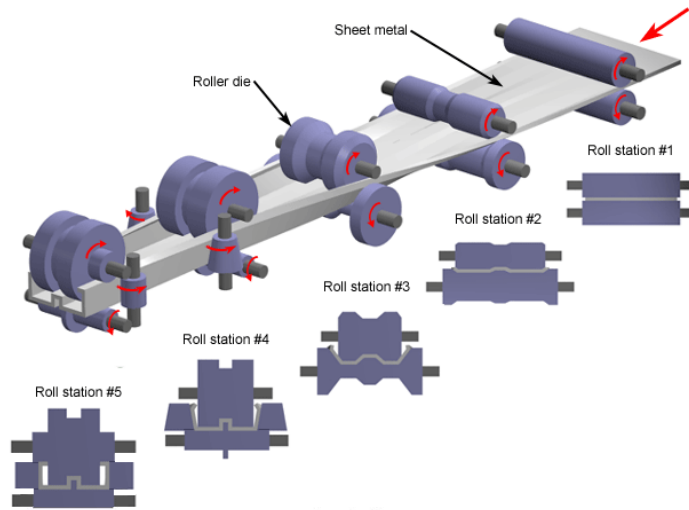


Hidroforming  
Tailored blanks sheet forming  
Inkrementalno deformisanje  
Mikrodeformisanje  
Net Shape Forming

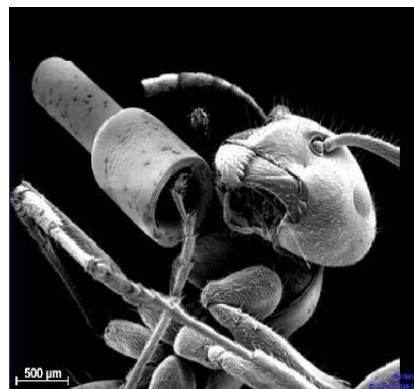
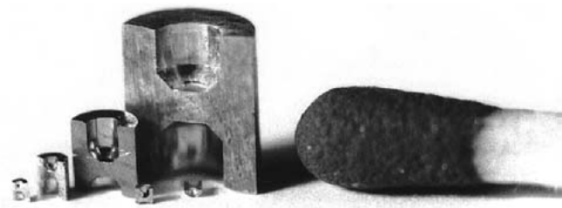
# Inkrementalno deformisanje lima







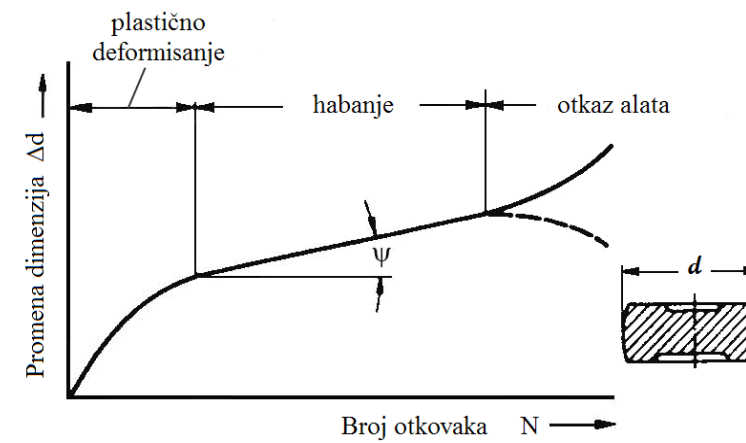
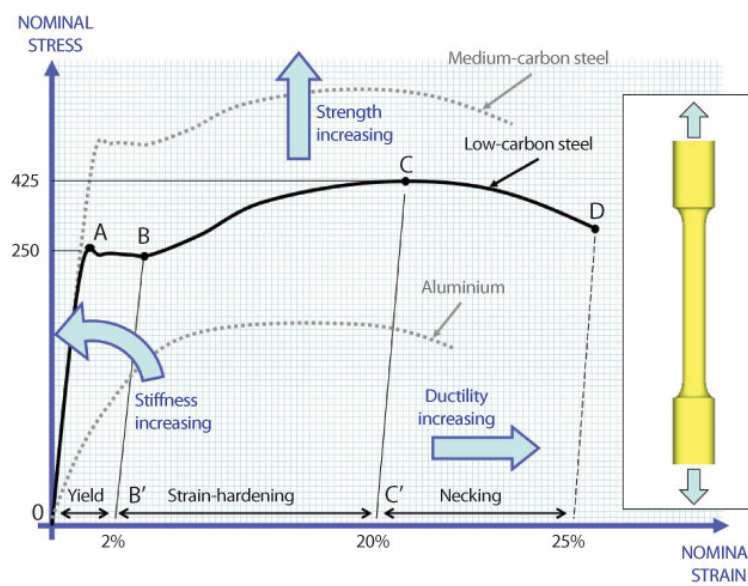
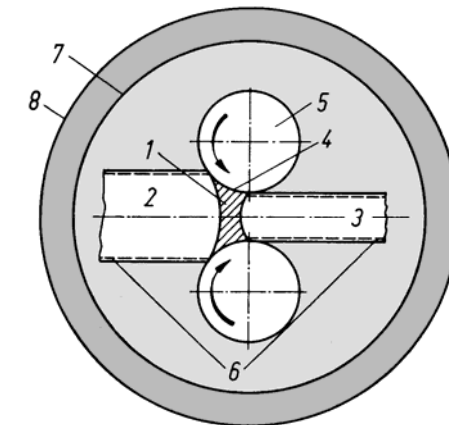
# Mikrodeformisanje



Proces	Mikrokomponente	Aplikacija
<i>Mikroprosecanje</i>	<i>Vodeći okvir</i>	<i>Senzor slike</i>
<i>Mikroprosecanje</i>	<i>Magnetna glava diska</i>	<i>Mikro HDD</i>
<i>Mikrosavijanje</i>		
<i>Mikro duboko izvlačenje</i>	<i>Ploča mlaznice</i>	<i>Injektor goriva</i>
<i>Mikroprobijanje</i>		
<i>Mikroistiskivanje</i>	<i>Mikročivije</i>	<i>USB adapter</i>
<i>Mikrouistiskivanje</i>	<i>Bipolarna ploča</i>	<i>Goriva ćelija</i>
<i>Mikrolasersko sečenje</i>	<i>Stent</i>	<i>Stent koronarne arterije</i>

# Problematika procesa Obrade deformisanjem

1. Zona deformisanja
2. Karakteristike materijala pre deformisanja
3. Karakteristike materijala nakon deformisanja
4. Kontakt alat–materijal i procesi koji se u tom kontaktu odvijaju za vreme procesa deformisanja
5. Problematika alata
6. Procesi koji se odvijaju između materijala i okoline pre i posle njegovog prolaska kroz zonu deformisanja
7. Mašina za TPD
8. Pogon u kome se proces izvodi, uključujući probleme unutrašnjeg transporta, automatizacije i dr.

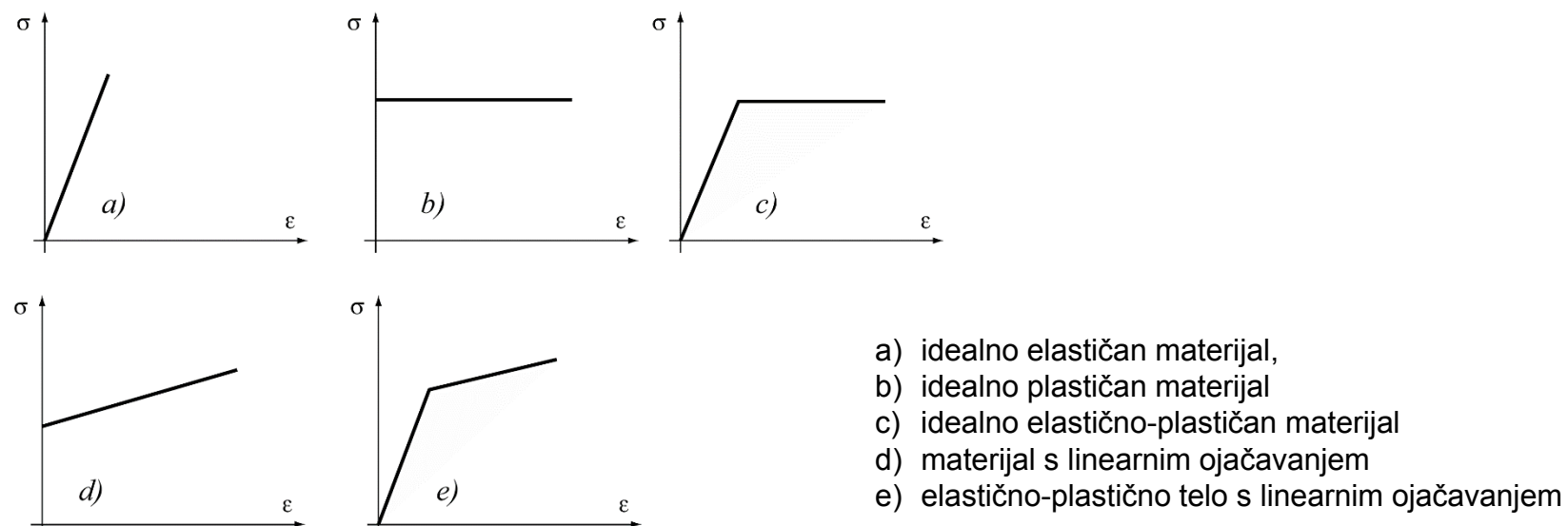


# Teoretske osnove tehnologije plastičnog deformisanja

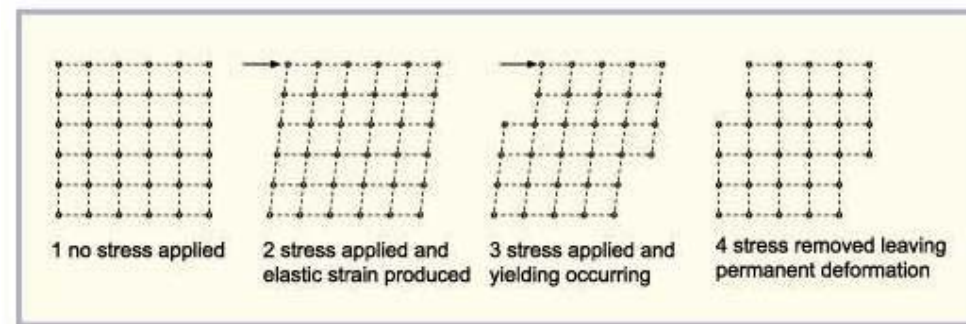
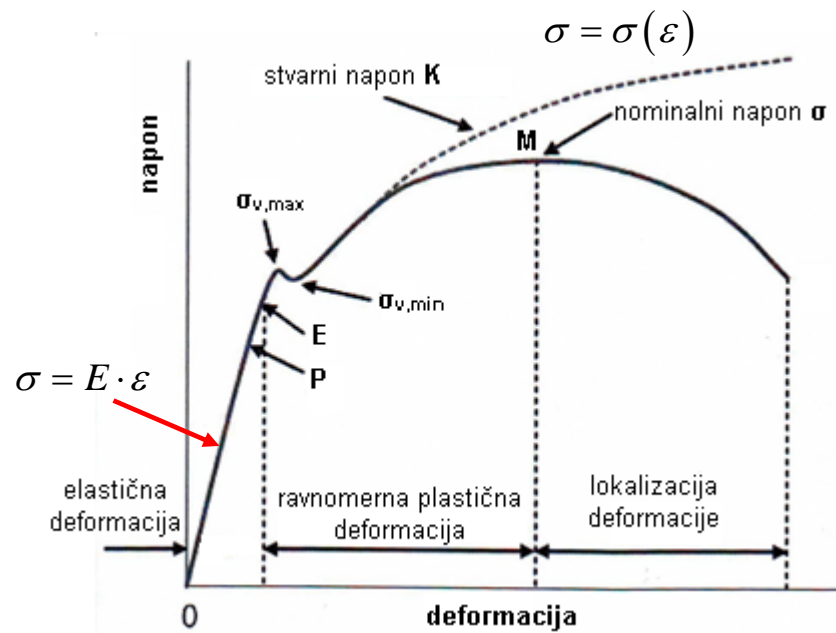
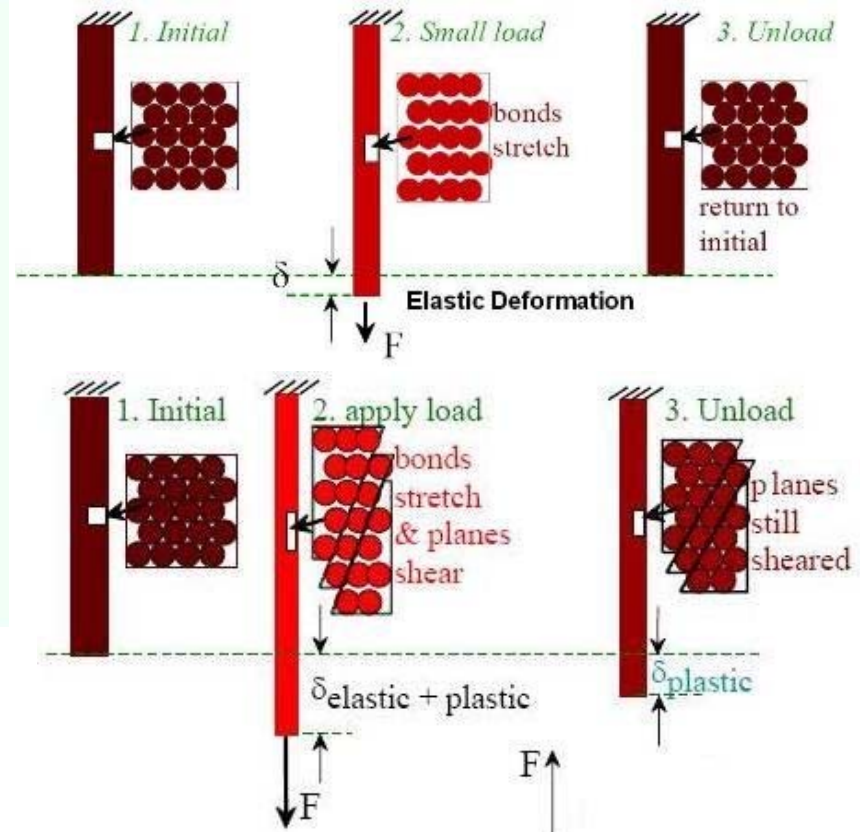
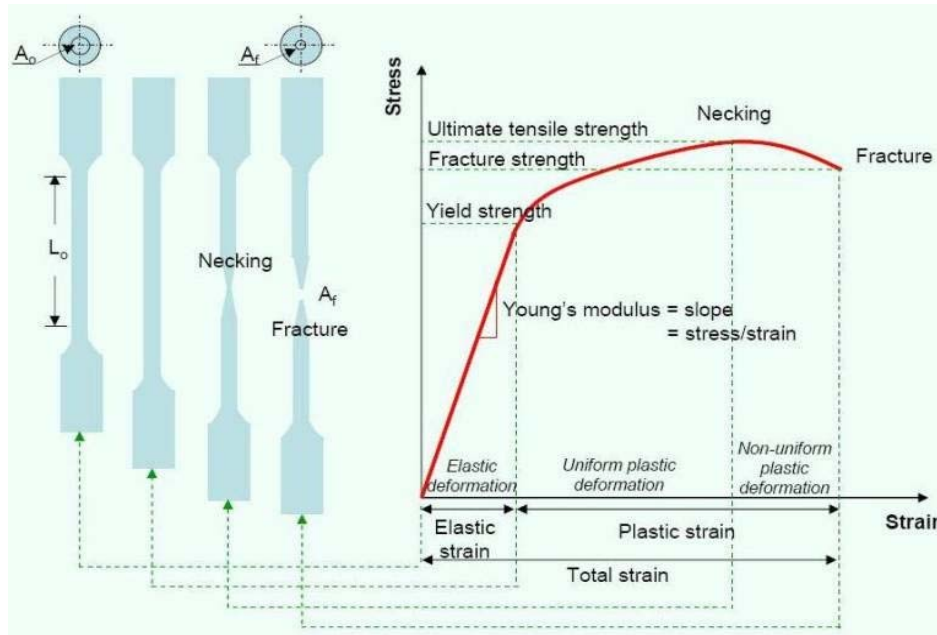
**Parametri procesa deformisanja** (naponi, deformacije, deformaciona sila i deformacioni rad)

## Osnovne hipoteze TPD:

1. Hipoteza o homogenosti elastično-plastičnog tela
2. Hipoteza o prirodnom naponskom stanju
3. Hipoteza o izotropnosti strukture materijala
4. Hipoteza o idealizaciji elastičnih i plastičnih svojstava
5. Zanemarivanje elastičnih deformacija – kruta plastičnost
6. Konstantnost zapremine



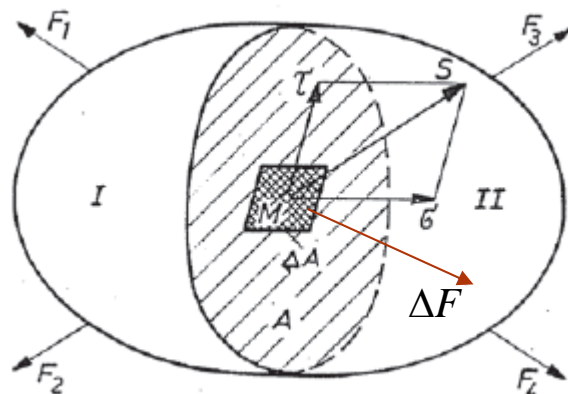
# Elastične i plastične deformacije



Stages of Plastic Deformation

# Pojam i definicija napona

Napon - mera prosečne sile ( $\Delta F$ ) po jedinici površine ( $\Delta A$ )

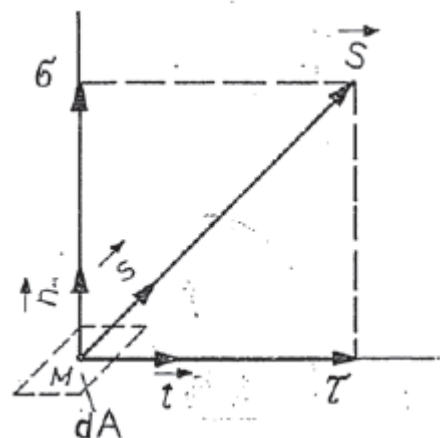


$$S = \lim_{\Delta A \rightarrow 0} \frac{\Delta F}{\Delta A} = \frac{dF}{dA}$$

$$S^2 = \sigma^2 + \tau^2$$

$\sigma$  - normalni napon  
 $\tau$  - tangencijalni napon

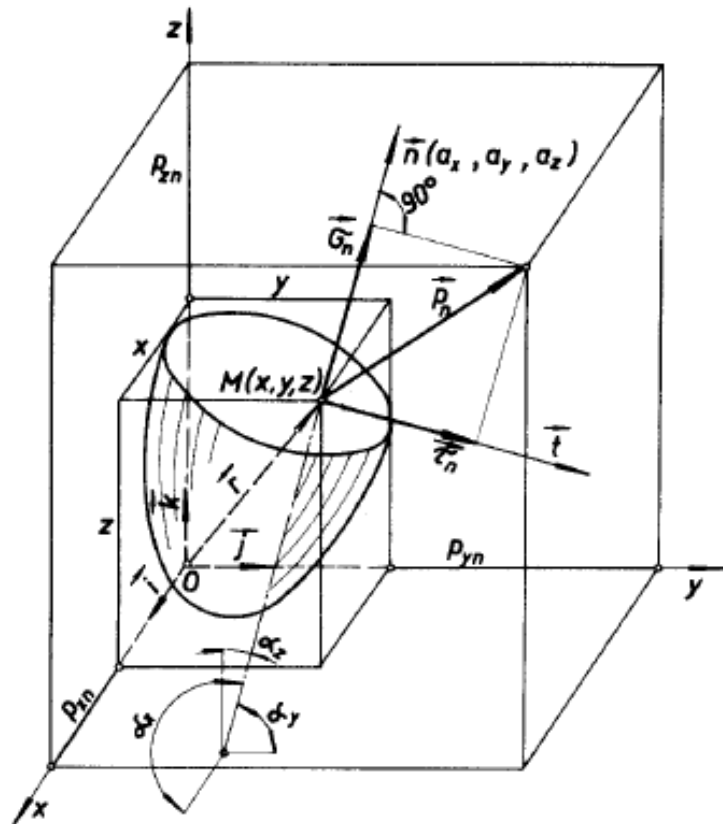
Napon je vektorska fizička veličina koja opisuje unutrašnje stanje napregnutog tela - zavisi od lokacije u telu i orientacije ravni na kojoj deluje sila.



$$\vec{S} = \lim_{\Delta A \rightarrow 0} \frac{\vec{\Delta F}}{\Delta A}$$

$$\vec{S} = \sigma \vec{n} + \tau \vec{i}$$

# Pojam i definicija napona



$$\vec{r} = \vec{r}(x, y, z) = x\vec{i} + y\vec{j} + z\vec{k}$$

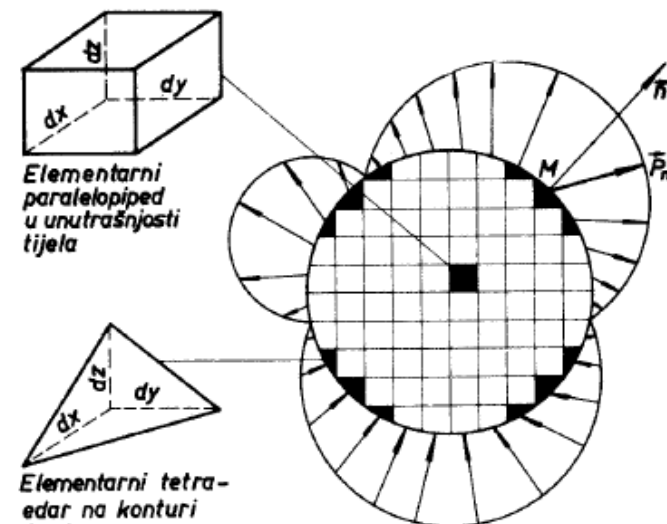
$$\left. \begin{aligned} a_x &= \cos \alpha_x = \vec{n} \cdot \vec{i} \\ a_y &= \cos \alpha_y = \vec{n} \cdot \vec{j} \\ a_z &= \cos \alpha_z = \vec{n} \cdot \vec{k} \end{aligned} \right\}$$

$$\vec{n} = a_x \vec{i} + a_y \vec{j} + a_z \vec{k}$$

$$\vec{p}_n = p_{xn}\vec{i} + p_{yn}\vec{j} + p_{zn}\vec{k} \quad - \text{po osama}$$

$$\vec{p}_n = G_n \vec{n} + \tau_n \vec{t} \quad - \text{po pravcima}$$

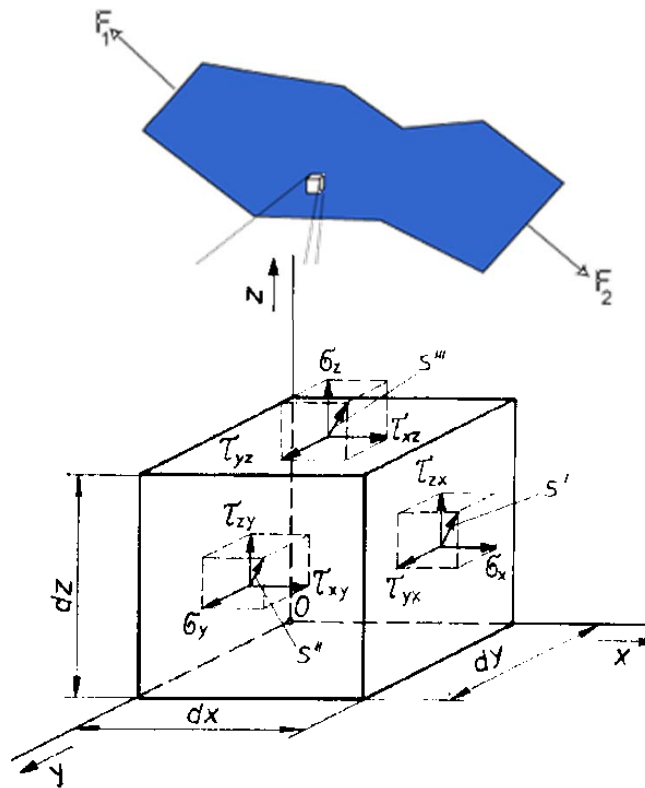
$$p_n = |\vec{p}_n| = \sqrt{G_n^2 + \tau_n^2}$$



# Naponsko stanje. Tenzor napona

**Naponsko stanje** - stanje tela izloženog dejstvu spoljašnjih sila (površinske i zapreminske) i u kome je uspostavljena unutrašnja ravnoteža elastičnih veza između čestica materijala.

- Naponsko stanje je poznato ako su poznati normalni i tangencijalni (smičući) napon u svakom pravcu, odnosno za svaku kako orijentisani elementarnu površinu.
- Naponsko stanje je tenzorska veličina!!!!



$\sigma_x$	$\tau_{xy}$	$\tau_{xz}$	pravac ose x
$\tau_{yx}$	$\sigma_y$	$\tau_{yz}$	pravac ose y
$\tau_{zx}$	$\tau_{zy}$	$\sigma_z$	pravac ose z
ravan upravna na x	ravan upravna na y	ravan upravna na z	

$$T_\sigma = \begin{vmatrix} \sigma_x & \tau_{xy} & \tau_{xz} \\ \tau_{yx} & \sigma_y & \tau_{yz} \\ \tau_{zx} & \tau_{zy} & \sigma_z \end{vmatrix}$$

$$\sum M_z = 0$$

$$(\tau_{xy} dy dx) dy - (\tau_{yx} dy dz) dx = 0$$

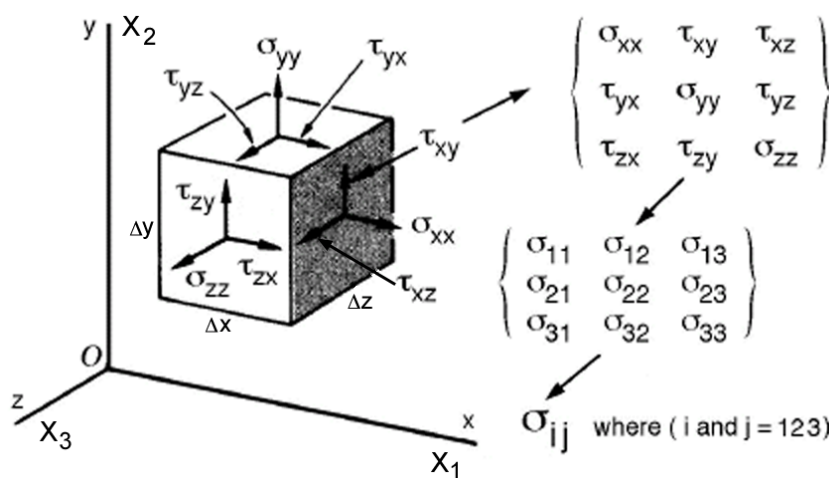
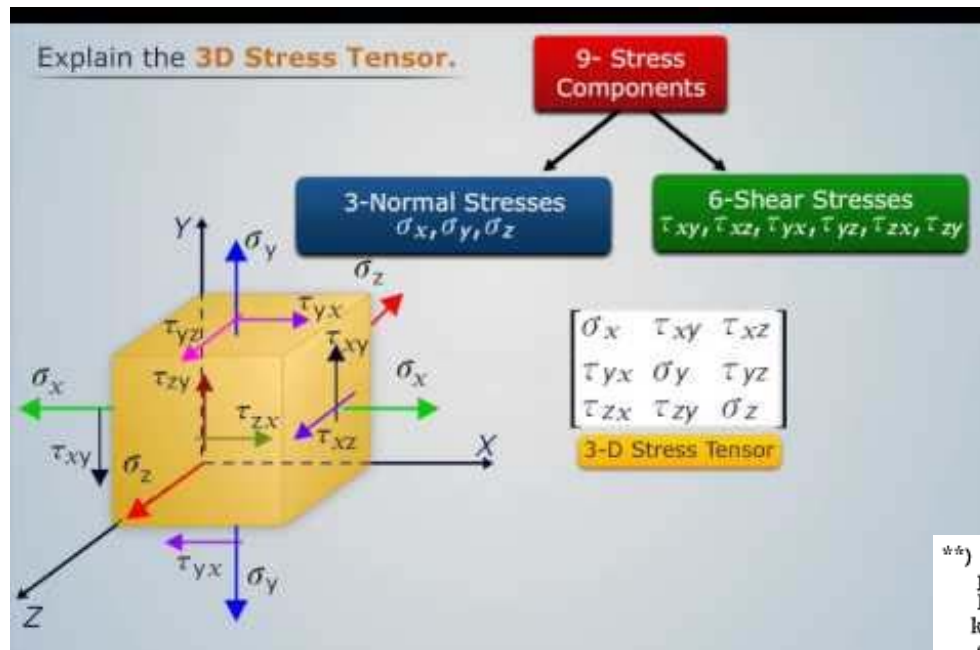
$$\tau_{xy} = \tau_{yx}$$

∴

$$\tau_{xz} = \tau_{zx}$$

$$\tau_{yz} = \tau_{zy}$$

# Naponsko stanje. Tenzor napona



**Tenzor** (grč. tensio što znači naprezanje) je vektor određenog vektorskog prostora i kao matematička struktura predstavlja uopštenje vektora. Tenzorske veličine su fizičke veličine čija vrednost zavisi i od **koordinate!!!!!** One se matematički predstavljaju matricom.

\*\*) Ne ulazeći ovde dublje u suštinu pojma i svojstava tenzora, može se pojednoštojavljeno reći da je uobičajeno da se tenzor napona predstavlja kao šematski (matrični) skup svih normalnih i smičućih napona koji deluju na tri uzajamno upravne površine beskonačno malog elementa zapreme. Pri tome su svi naponi (komponente tenzora) raspoređeni po određenom redosledu (sistemu). Tako oformljeni tenzori imaju svojstvo različitih matematičkih transformacija (mogu se sabirati, oduzimati, itd.) Treba istaći da se komponente tenzora pri promeni orientacije koordinatnog sistema ne mogu menjati proizvoljno, već po određenoj zakonitosti, tako da se suštinska svojstva tenzora time ne menjaju (v. poglavija o invarijantama). Zahvaljujući ovakvim, a i drugim osobenostima (o kojima će kasnije biti još reči), tenzori napona mogu izraziti suštinu naponskog stanja. Osim tenzora napona, u teoriji plastičnosti takođe se koriste tenzori deformacija i tenzori brzina deformacija.

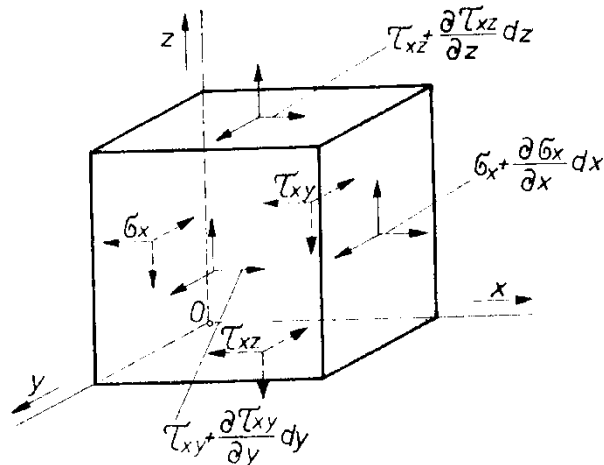
Napomena:

u mehanici neprekidnih sredina često se ispisivanje simbola za napone uneškoliko pojednostavljuje time što se i za normalne i za smičuće napone koristi simbol  $\sigma$ , a razlike između njih proizlaze iz korišćenih indeksa. Naime, za normalne napone bilo bi:  $\sigma_{xx}$ ;  $\sigma_{yy}$ ;  $\sigma_{zz}$ ; a za smičuće:  $\sigma_{xy}$ ;  $\sigma_{yz}$ ;  $\sigma_{zx}$ , tako da bi opšta oznaka napona bila  $\sigma_{ij} = \sigma_{ji}$ , a ona se takođe može koristiti i kao opšti skraćeni simbol za tenzor napona ( $T_\sigma = \sigma_{ij}$ ). što pojednostavljuje ispisivanje.

## Diferencijalne jednačine ravnoteže

Veličina napona u opštem slučaju menja se od tačke do tačke tela i predstavlja neprekidnu funkciju koordinata!!!

Potrebno je pronaći raspored po čitavom telu!?? – moguće/nemoguće



$$\sum F_x = 0$$
$$\left( \sigma_x + \frac{\partial \sigma_x}{\partial x} dx dy dz \right) dy dz - \sigma_x dy dz + \left( \tau_{xy} + \frac{\partial \tau_{xy}}{\partial y} dy \right) dx dz -$$
$$- \left( \tau_{xy} dx dz \right) + \left( \tau_{xy} + \frac{\partial \tau_{xy}}{\partial z} dz \right) dx dy - \left( \tau_{xy} dx dy \right) = 0$$
$$\frac{\partial \sigma_x}{\partial x} + \frac{\partial \tau_{xy}}{\partial y} + \frac{\partial \tau_{xz}}{\partial z} = 0$$

$$\frac{\partial \sigma_x}{\partial x} + \frac{\partial \tau_{xy}}{\partial y} + \frac{\partial \tau_{xz}}{\partial z} = 0$$

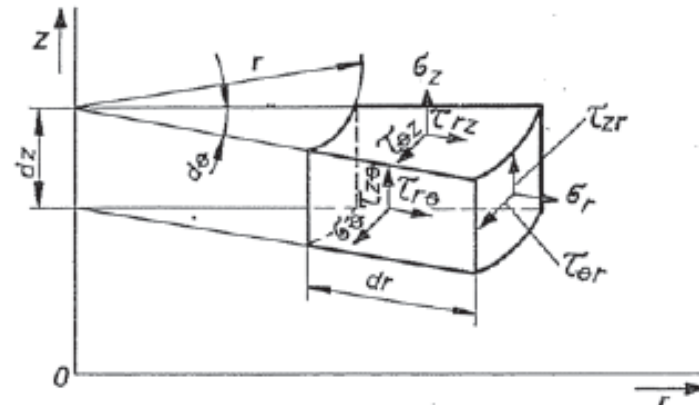
$$\frac{\partial \tau_{yx}}{\partial x} + \frac{\partial \sigma_y}{\partial y} + \frac{\partial \tau_{yz}}{\partial z} = 0$$

$$\frac{\partial \tau_{zx}}{\partial x} + \frac{\partial \tau_{zy}}{\partial y} + \frac{\partial \sigma_z}{\partial z} = 0$$

Za rešavanje gornjeg sistema jednačina granični uslovi moraju biti poznati!!!!!!

# Diferencijalne jednačine ravnoteže

Cilindrični koordinatni sistem ( $r, \Theta, z$ )

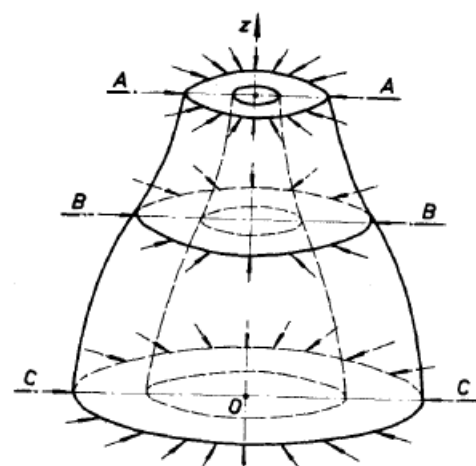


$$\frac{\partial \sigma_r}{\partial r} + \frac{1}{r} \frac{\partial \tau_{r\theta}}{\partial \theta} + \frac{\partial \tau_{rz}}{\partial z} + \frac{\sigma_r - \sigma_\theta}{r} = 0$$

$$\frac{\partial \tau_{r\theta}}{\partial r} + \frac{1}{r} \frac{\partial \sigma_\theta}{\partial \theta} + \frac{\partial \tau_{\theta z}}{\partial z} + \frac{2\tau_{r\theta}}{r} = 0$$

$$\frac{\partial \tau_{rz}}{\partial r} + \frac{1}{r} \frac{\partial \tau_{\theta z}}{\partial \theta} + \frac{\partial \sigma_z}{\partial z} + \frac{\tau_{rz}}{r} = 0$$

$$T_\sigma = \begin{vmatrix} \sigma_r & \tau_{r\theta} & \tau_r \\ \tau_{\theta r} & \sigma_\theta & \tau_{\theta z} \\ \tau_{zr} & \tau_{z\theta} & \sigma_z \end{vmatrix}$$



Osno-simetrično naponsko stanje ( $\tau_{r\theta} = \tau_{z\theta} = 0$ )  
 - Naponi ne zavise od komponente  $\Theta$ !!!

$$T_\sigma = \begin{vmatrix} \sigma_r & 0 & \tau_r \\ 0 & \sigma_\theta & 0 \\ \tau_{zr} & 0 & \sigma_z \end{vmatrix}$$

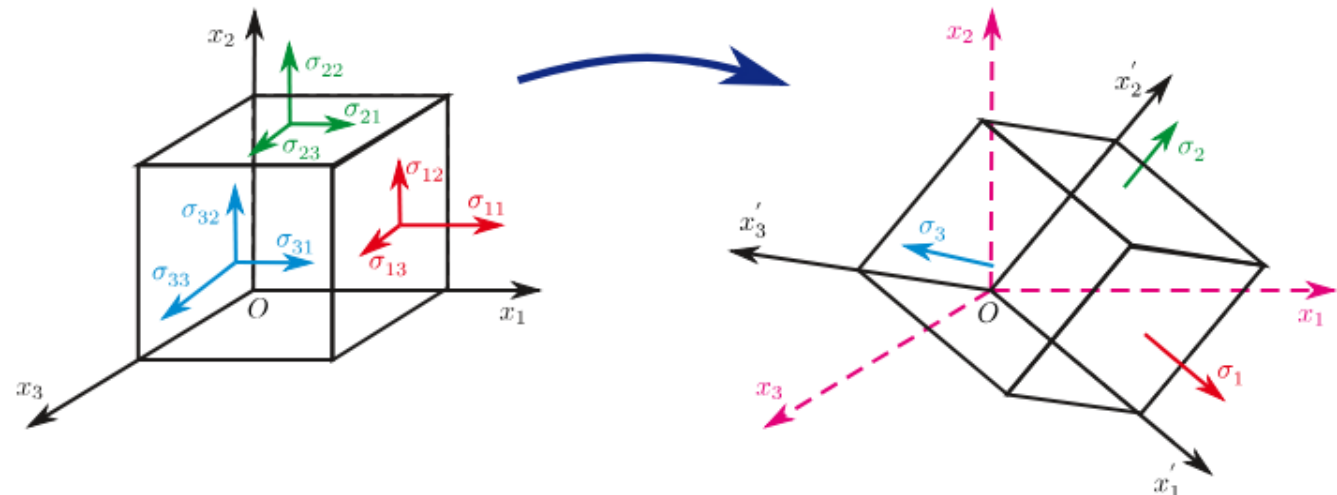
## Glavni normalni naponi

Naponi u ravnuima u kojima nema smičućih (tangencijalnih) napona ( $\tau=0$ )

Naposnsko stanje u tački je određeno (poznato) ako su poznati glavni naponi i pravci glavnih osa!!!!

$$T_{\sigma} = \begin{vmatrix} \sigma_1 & 0 & 0 \\ 0 & \sigma_2 & 0 \\ 0 & 0 & \sigma_3 \end{vmatrix}$$

$$\sigma_1 \geq \sigma_2 \geq \sigma_3$$



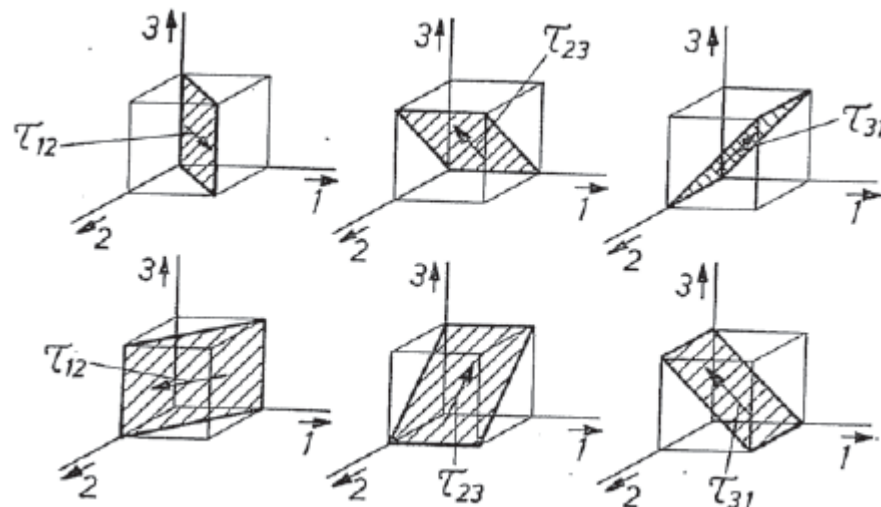
U opštem slučaju pravci glavnih osa su različiti u različitim tačkama!

U većini slučajeva obrade deformisanjem se smatra da su pravci glavnih osa isti (približno) u svim tačkama (pojednostavljenje)!!!!!!

## Glavni smičući (tangencijalni naponi)

Smičući (tangencijalni) naponi maksimalni ( $\tau = \tau_{\max}$ )

Deluju u ravnima od kojih je svaka upravna na jednu glavnu koordinatnu ravan (osu) a sa ostale dve ravni (ose) zaklapa ugao od  $45^\circ$ !!!



$$\tau_{12} = \pm \frac{1}{2}(\sigma_1 - \sigma_2) = 0$$

$$\tau_{23} = \pm \frac{1}{2}(\sigma_2 - \sigma_3) = 0 \quad \tau_{12} + \tau_{23} + \tau_{31} = 0$$

$$\tau_{31} = \pm \frac{1}{2}(\sigma_3 - \sigma_1) = 0$$

Iz uslova  $\sigma_x \geq \sigma_y \geq \sigma_z$  sledi  $\tau_{31} = \tau_{\max}$

$$\sigma_{12} = \frac{\sigma_1 + \sigma_2}{2}$$

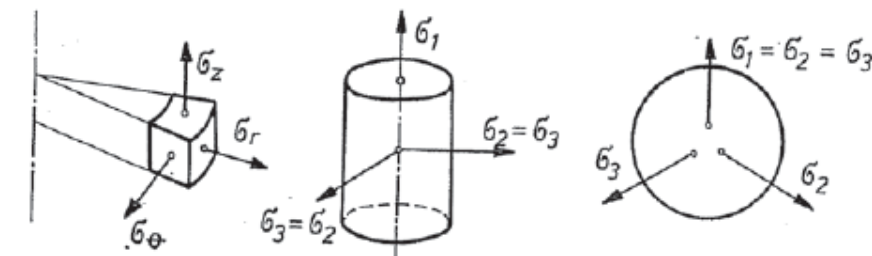
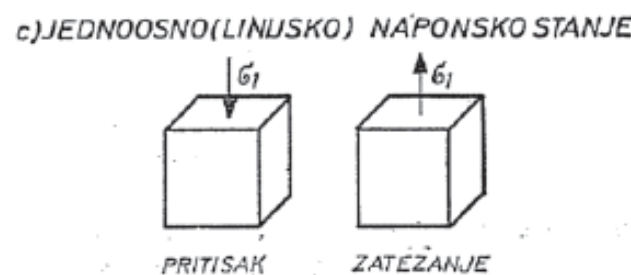
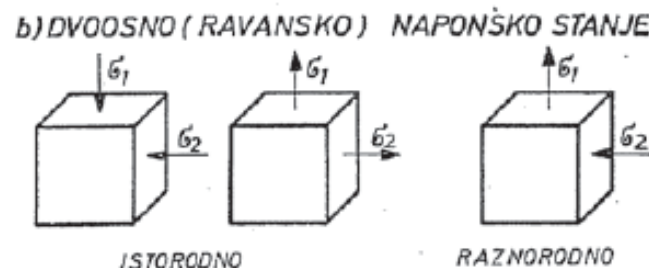
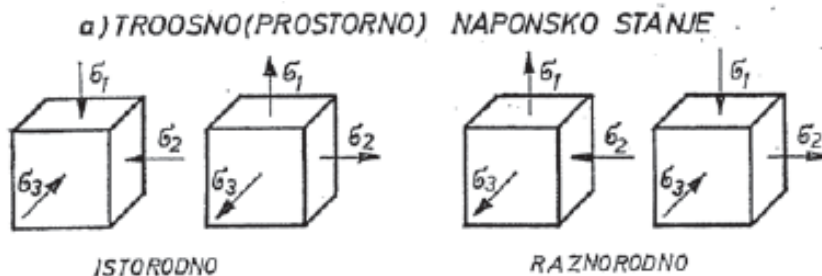
$$\sigma_{23} = \frac{\sigma_2 + \sigma_3}{2}$$

$$\sigma_{31} = \frac{\sigma_3 + \sigma_1}{2}$$

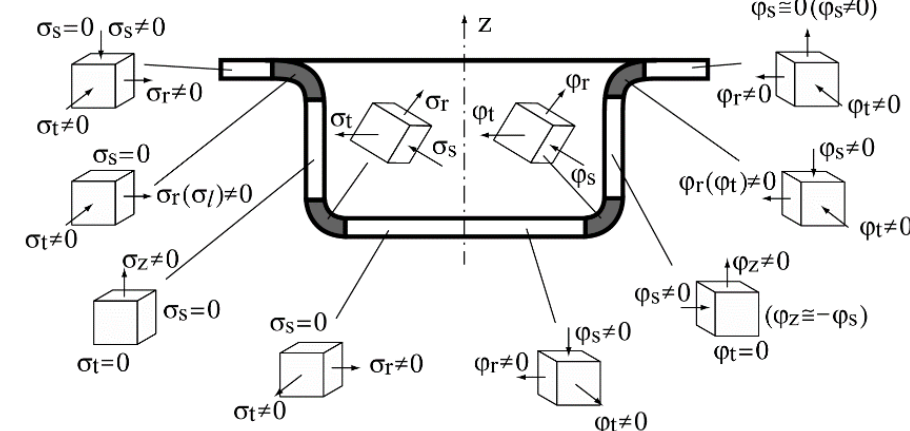
Vrednosti normalnih napona u ravnima  
gde dejstvuju glavni smičući naponi!

# Vrste naponskih stanja i njihove mehaničke šeme

Naponske šeme prikazuju pravce i smerove glavnih normalnih napona u posmatranom procesu.  
Uticaj na deformabilnost materijala.



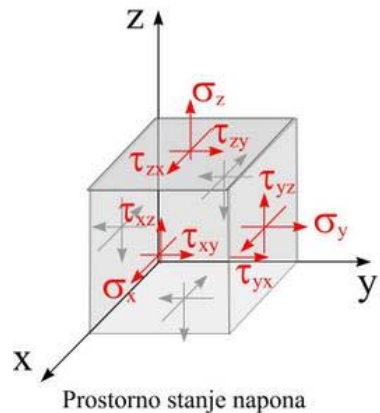
bez | ako postoji  
držača | držač lima



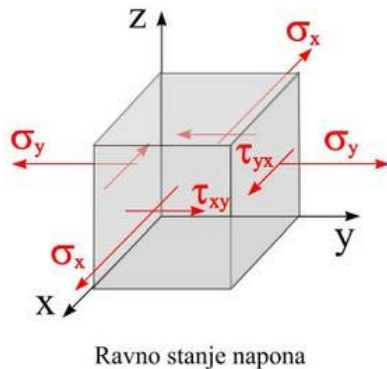
# Vrste naponskih stanja i njihove mehaničke šeme

Specijalni slučajevi naposkog stanja

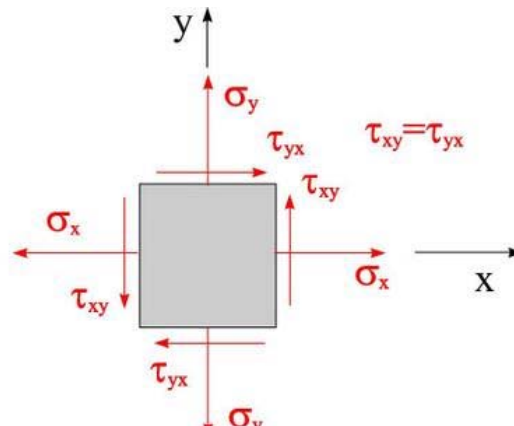
- Ravansko naponsko stanje ( $\sigma_x \neq 0, \sigma_y \neq 0, \sigma_z = 0; \varepsilon_x \neq 0, \varepsilon_y \neq 0, \varepsilon_z = 0$ )
- Ravansko deformaciono stanje ( $\sigma_x \neq 0, \sigma_y \neq 0, \sigma_z \neq 0; \varepsilon_x \neq 0, \varepsilon_y \neq 0, \varepsilon_z \neq 0$ )



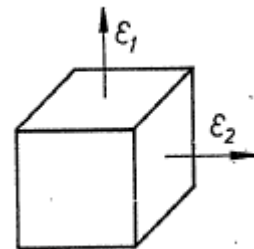
Prostorno stanje napona



Ravno stanje napona



Ravno stanje napona (dvodimenzionalni prikaz)

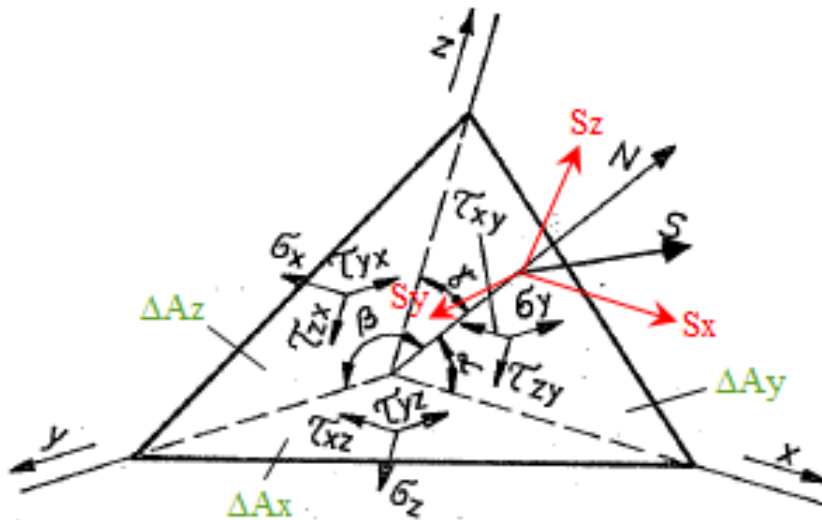


Ravansko deformaciono stanje

## Naponi u kosoj ravni

Naponi u tri međusobno upravne ravni koje prolaze kroz jednu tačku u potpunosti definišu naponsko stanje.

Ako su poznati naponi u te tri ravni onda se mogu odrediti naponi u ma kojoj ravni (proizvojno orijentisanoj) koja prolazi kroz tu tačku.



$$S_x \Delta A - \sigma_x \Delta A_x - \tau_{xy} \Delta A_y - \tau_{xz} \Delta A_z = 0$$

$$S_y \Delta A - \tau_{yx} \Delta A_x - \sigma_y \Delta A_y - \tau_{yz} \Delta A_z = 0$$

$$S_z \Delta A - \tau_{zx} \Delta A_x - \tau_{zy} \Delta A_y - \sigma_z \Delta A_z = 0$$

$$\Delta A_x = \Delta A \alpha_x; \quad \Delta A_y = \Delta A \alpha_y; \quad \Delta A_z = \Delta A \alpha_z$$

$$\cos \alpha = \cos(N, x) = \alpha_x$$

$$\cos \beta = \cos(N, y) = \alpha_y$$

$$\cos \gamma = \cos(N, z) = \alpha_z$$

$$\alpha_x^2 + \alpha_y^2 + \alpha_z^2 = 1$$

Uglovi (kosinusi uglova) koje nagnuta ravan zaklapa sa koordinatnim osama

Košijeve (Cauchy) jednačine  
(konturni uslovi)

$$S_x = \sigma_x \alpha_x + \tau_{xy} \alpha_y + \tau_{xz} \alpha_z$$

$$S_y = \tau_{yx} \alpha_x + \sigma_y \alpha_y + \tau_{yz} \alpha_z$$

$$S_z = \tau_{zx} \alpha_x + \tau_{zy} \alpha_y + \sigma_z \alpha_z$$

# Naponi u kosoj ravni

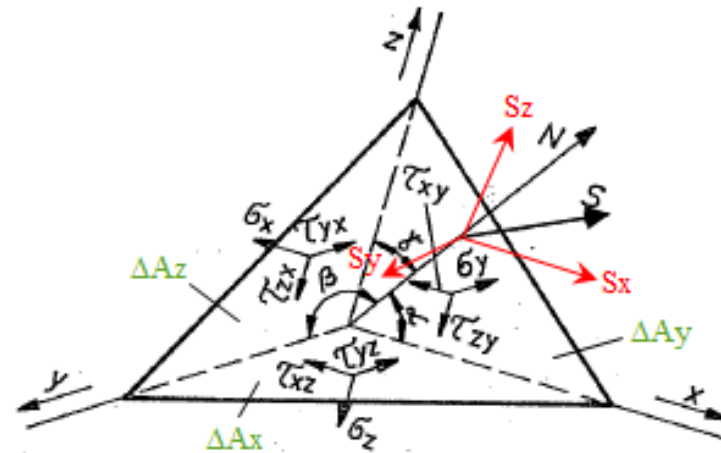
Ogisten Luj Koši



Ogisten Luj Koši

Datum rođenja	21. avgust 1789.
Mesto rođenja	Pariz Francuska
Datum smrti	23. maj 1857. (67 god.)

Košijeve (Cauchy) jednačine  
(konturni uslovi)



$$S_x = \sigma_x \alpha_x + \tau_{xy} \alpha_y + \tau_{xz} \alpha_z$$

$$S_y = \tau_{yx} \alpha_x + \sigma_y \alpha_y + \tau_{yz} \alpha_z$$

$$S_z = \tau_{zx} \alpha_x + \tau_{zy} \alpha_y + \sigma_z \alpha_z$$

$$S^2 = S_x^2 + S_y^2 + S_z^2$$

Napomena: s obzirom da koeficijenti pravaca u ovim jednačinama mogu imati najrazličitije iznose, to proizlazi da nagnuta površina dobija u opštem slučaju najrazličitije orientacije. Zato se može takođe smatrati da ove jednačine predstavljaju na izvestan način vezu između unutrašnjih naponi i onih na površini — tzv. konturni uslovi (granični uslovi na konturi), koji se mogu koristiti kao granični uslovi pri integrisanju diferencijalnih jednačina ravnoteže.

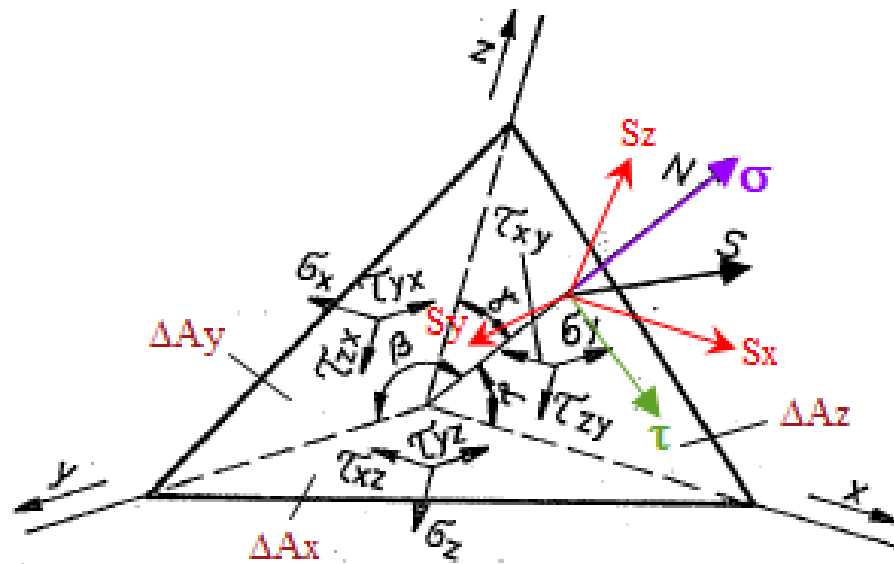
# Naponi u kosoj ravni

Naponsko stanje u kosoj ravni izraženo preko **glavnih naponu**.

- Projekcije ukupnog napona na glavne ose ( $S_1, S_2, S_3$ ) i ukupni napon ( $S$ )

$$S_1 = \sigma_1 \alpha_1 \quad S_2 = \sigma_2 \alpha_2 \quad S_3 = \sigma_3 \alpha_3$$

$$S^2 = \sigma_1^2 \alpha_1^2 + \sigma_2^2 \alpha_2^2 + \sigma_3^2 \alpha_3^2$$



Normalni napon u kosoj ravni

$$\sigma = S_x \alpha_x + S_y \alpha_y + S_z \alpha_z$$

$$\begin{aligned} \sigma &= \sigma_x \alpha_x^2 + \sigma_y \alpha_y^2 + \sigma_z \alpha_z^2 + \\ &+ 2\tau_{xy} \alpha_x \alpha_y + \tau_{yz} \alpha_y \alpha_z + \tau_{zx} \alpha_z \alpha_x \end{aligned}$$

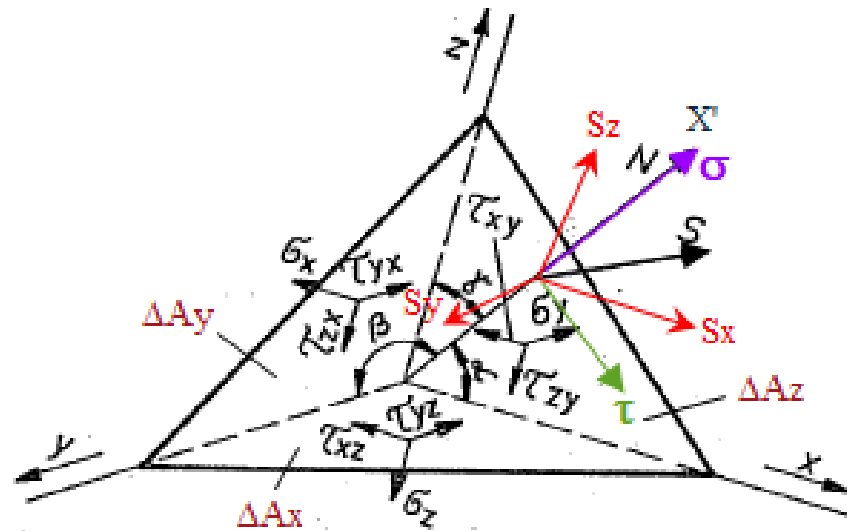
$$\sigma = \sigma_1 \alpha_1^2 + \sigma_2 \alpha_2^2 + \sigma_3 \alpha_3^2$$

Smičući napon u kosoj ravni

$$\tau = \sqrt{S^2 - \sigma^2}$$

# Naponi u kosoj ravni

Rotacija koordinatnog sistema:  $(x, y, z) \rightarrow (x', y', z')$ ,  $x' \equiv N$



normalni napon

$$\sigma = \sigma_{x'} = S_x \alpha_x + S_y \alpha_y + S_z \alpha_z$$

smičući napon

$$\tau_{x'y'} = S_x \cos(y', x) + S_y \cos(y', y) + S_z \cos(y', z)$$

$$\tau_{z'x'} = S_x \cos(z', x) + S_y \cos(z', y) + S_z \cos(z', z)$$

$$T_\sigma = \begin{vmatrix} \sigma_x & \tau_{xy} & \tau_{xz} \\ \tau_{yx} & \sigma_y & \tau_{yz} \\ \tau_{zx} & \tau_{zy} & \sigma_z \end{vmatrix} \quad T_{\sigma'} = \begin{vmatrix} \sigma_{x'} & \tau_{x'y'} & \tau_{x'z'} \\ \tau_{y'x'} & \sigma_{y'} & \tau_{y'z'} \\ \tau_{z'x'} & \tau_{z'y'} & \sigma_{z'} \end{vmatrix}$$

**VAŽNO:**  
rotacija (transformacija)  
koordinatnog sistema ne utiče.  
vrednost tenzora u posmatranoj  
tački!!!!

isti tenzori!!!

# Naponi u kosoj ravni

## Specijalni slučaj

Za početak plastičnog deformisanja bitne su vrednosti maksimalnog ( $\sigma_1$ ) i minimalnog napona ( $\sigma_3$ ) → ravansko naponsko stanje

$$\sigma \Delta A \cos \alpha - \sigma_1 \Delta A \cos \alpha + \tau \Delta A \sin \alpha = 0 \quad (\text{za pravac 1})$$

$$\sigma \Delta A \sin \alpha - \sigma_3 \Delta A \sin \alpha - \tau \Delta A \cos \alpha = 0 \quad (\text{za pravac 3})$$

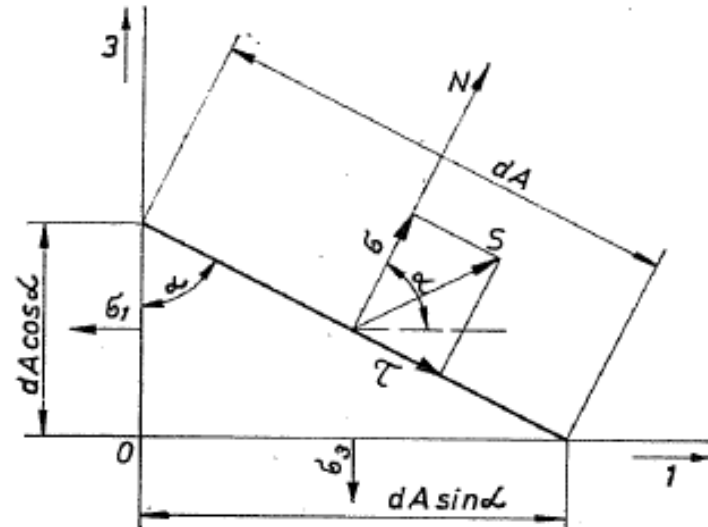
$$\cos^2 \alpha = \frac{1 + \cos 2\alpha}{2}; \quad \sin^2 \alpha = \frac{1 - \cos 2\alpha}{2}$$

$$\sin \alpha \cos \alpha = \frac{\sin 2\alpha}{2}$$

## Normalni i smičući napon

$$\sigma = \frac{\sigma_1 + \sigma_3}{2} + \frac{\sigma_1 - \sigma_3}{2} \cos 2\alpha$$

$$\tau = \pm \frac{\sigma_1 - \sigma_3}{2} \sin 2\alpha$$



$$\alpha = 45^\circ \rightarrow \tau = \tau_{\max}$$

$$\tau_{\max} = \tau_{13} = \pm \frac{1}{2} (\sigma_1 - \sigma_3)$$

$$|\tau_{\max}| = \frac{|\sigma_1 - \sigma_3|}{2}$$

$$\sigma_{13} = \frac{\sigma_1 + \sigma_3}{2}$$

# Invarijante tenzora napona

Pretpostavka

Na nagnutnoj ravni deluju samo normalni naponi ( $S=\sigma$ ) → glavna ravan

komponente napona:

$$S_x = \sigma a_x ; \quad S_y = \sigma a_y ; \quad S_z = \sigma a_z$$

Košijeve (Cauchy) jednačine

$$\sigma a_x = \sigma_x a_x + \tau_{xy} a_y + \tau_{xz} a_z$$

$$\sigma a_y = \tau_{yx} a_x + \sigma_y a_y + \tau_{yz} a_z$$

$$\sigma a_z = \tau_{zx} a_x + \tau_{zy} a_y + \sigma_z a_z$$

Sistem linearnih homogenih jednačina

$$(\sigma_x - \sigma) a_x + \tau_{xy} a_y + \tau_{xz} a_z = 0$$

$$\tau_{yx} a_x + (\sigma_y - \sigma) a_y + \tau_{yz} a_z = 0$$

$$\tau_{zx} a_x + \tau_{zy} a_y + (\sigma_z - \sigma) a_z = 0$$

trivijalno rešenje  $a_x = a_y = a_z = 0$  nije moguće zbog  $a_x^2 + a_y^2 + a_z^2 = 1$

$$\begin{vmatrix} \sigma_x - \sigma & \tau_{xy} & \tau_{xz} \\ \tau_{yx} & \sigma_y - \sigma & \tau_{yz} \\ \tau_{zx} & \tau_{zy} & \sigma_z - \sigma \end{vmatrix} = 0 \quad \rightarrow$$

$$\begin{aligned} \sigma^3 - \sigma^2 (\sigma_x + \sigma_y + \sigma_z) + \sigma (\sigma_x \sigma_y + \sigma_y \sigma_z + \sigma_z \sigma_x - \\ - \tau_{xy}^2 - \tau_{yz}^2 - \tau_{zx}^2) - (\sigma_x \sigma_y \sigma_z + 2\tau_{xy} \tau_{yz} \tau_{zx} - \\ - \sigma_x \tau_{yz}^2 - \sigma_y \tau_{zx}^2 - \sigma_z \tau_{xy}^2) = 0 \end{aligned}$$

## Invarijante tenzora napona

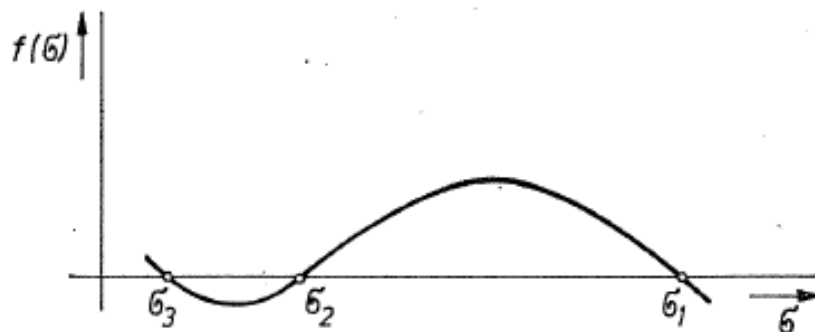
$$\begin{aligned}\sigma^3 - \sigma^2 (\sigma_x + \sigma_y + \sigma_z) + \sigma (\sigma_x \sigma_y + \sigma_y \sigma_z + \sigma_z \sigma_x - \\ - \tau_{xy}^2 - \tau_{yz}^2 - \tau_{zx}^2) - (\sigma_x \sigma_y \sigma_z + 2\tau_{xy} \tau_{yz} \tau_{zx} - \\ - \sigma_x \tau_{yz}^2 - \sigma_y \tau_{zx}^2 - \sigma_z \tau_{xy}^2) = 0\end{aligned}$$



$$\boxed{\sigma^3 - J_1 \sigma^2 + J_2 \sigma - J_3 = 0}$$

sva tri korena (rešenja)  
**sekularne jednačine** su  
prirodna i predstavljaju glavne  
napone ( $\sigma_1, \sigma_2, \sigma_3$ )

Pošto veličine glavnih normalnih napona ne zavise od orijentacije koordinatnog sistema, to ni koeficijenti kubne jednačine po  $\sigma$  ( $J_1 ; J_2 ; J_3$ ) takođe od nje ne mogu zavisiti, zbog čega se nazivaju invarijante tenzora napona.



$$J_1(T_\sigma) \equiv \sigma_x + \sigma_y + \sigma_z = \sigma_1 + \sigma_2 + \sigma_3 = \text{const } *)$$

$$\begin{aligned}J_2(T_\sigma) \equiv \sigma_x \sigma_y + \sigma_y \sigma_z + \sigma_z \sigma_x - \tau_{xy}^2 - \tau_{yz}^2 - \tau_{zx}^2 = \\ = \sigma_1 \sigma_2 + \sigma_2 \sigma_3 + \sigma_3 \sigma_1 = \text{const.}\end{aligned}$$

$$\begin{aligned}J_3(T_\sigma) \equiv \begin{vmatrix} \sigma_x & \tau_{xy} & \tau_{xz} \\ \tau_{yx} & \sigma_y & \tau_{yz} \\ \tau_{zx} & \tau_{zy} & \sigma_z \end{vmatrix} = \sigma_x \sigma_y \sigma_z + 2\tau_{xy} \tau_{yz} \tau_{zx} - \\ - \sigma_x \tau_{yz}^2 - \sigma_y \tau_{zx}^2 - \sigma_z \tau_{xy}^2 = \sigma_1 \sigma_2 \sigma_3 = \text{const.}\end{aligned}$$

## Oktaedarski naponi

Naponi koji deluju u ravnima koje su podjednako nagnute u odnosu na glavne ose (ima ih ukupno osam – formiraju oktaedar).

$$a_x^2 + a_y^2 + a_z^2 = 1$$

$$a_1 = a_2 = a_3 = \pm \frac{1}{\sqrt{3}} = \pm \frac{\sqrt{3}}{3}$$

**normalni oktaedarski napon**

$$\sigma_0 = \sigma_1 a_1^2 + \sigma_2 a_2^2 + \sigma_3 a_3^2 = \frac{\sigma_1 + \sigma_2 + \sigma_3}{3}$$

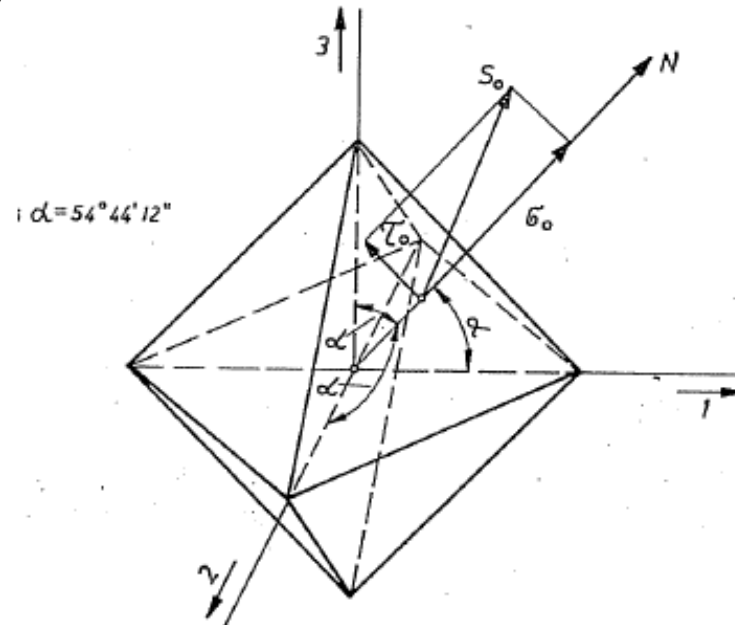
**smičući oktaedarski napon**

$$\tau_0 = \sqrt{S_0^2 - \sigma_0^2} =$$

$$= \sqrt{\sigma_1^2 a_1^2 + \sigma_2^2 a_2^2 + \sigma_3^2 a_3^2 - (\sigma_1 a_1^2 + \sigma_2 a_2^2 + \sigma_3 a_3^2)^2} = \\ = \frac{\sqrt{2}}{3} \sqrt{\sigma_1^2 + \sigma_2^2 + \sigma_3^2 - \sigma_1 \sigma_2 - \sigma_2 \sigma_3 - \sigma_3 \sigma_1}$$

$$\tau_0 = \frac{1}{3} \sqrt{(\sigma_1 - \sigma_2)^2 + (\sigma_2 - \sigma_3)^2 + (\sigma_3 - \sigma_1)^2}$$

$$\tau_0 = \frac{2}{3} \sqrt{\tau_{12}^2 + \tau_{23}^2 + \tau_{31}^2}$$



$$\tau_0 = \frac{\sqrt{2J_1^2 - 6J_2}}{3} = \sqrt{\frac{2}{9} (J_1^2 - 3J_2)}$$

$$\tau_0 = \frac{1}{3} \sqrt{(\sigma_x - \sigma_y)^2 + (\sigma_y - \sigma_z)^2 + (\sigma_z - \sigma_x)^2 + 6 (\tau_{xy}^2 + \tau_{yz}^2 + \tau_{zx}^2)}$$

$$\frac{2\sqrt{2}}{3} \approx 0,941 \geq \left| \frac{\tau_0}{\tau_{\max}} \right| \geq \sqrt{\frac{2}{3}} \approx 0,816$$

# Srednji normalni napon (hidrostatički pritisak). Sferni tenzor napona

Srednji normalni napon  $\leftrightarrow$  oktaedarski normalni napon

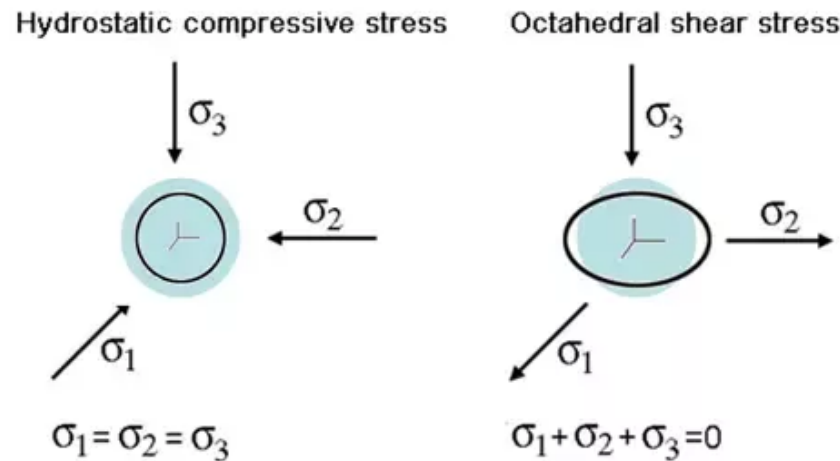
$$\sigma_m = \frac{\sigma_x + \sigma_y + \sigma_z}{3} = \frac{\sigma_1 + \sigma_2 + \sigma_3}{3} = \frac{J_1}{3}$$

Hidrostatički pritisak ili srednji pritisak

$$p = -\frac{\sigma_1 + \sigma_2 + \sigma_3}{3} = -\sigma_m$$

Sferni tenzor napona  $\sigma_1 = \sigma_2 = \sigma_3 = \sigma_m$ .

$$T_{S(\sigma)} = \begin{pmatrix} \sigma_m & 0 & 0 \\ 0 & \sigma_m & 0 \\ 0 & 0 & \sigma_m \end{pmatrix} = \sigma_m \{T_1\}$$



Jedinični tenzor

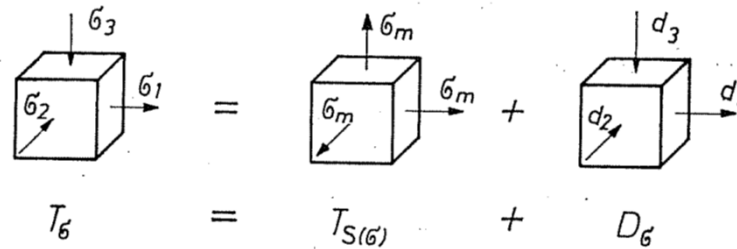
$$T_1 = \begin{pmatrix} 1 & 0 & 0 \\ 0 & 1 & 0 \\ 0 & 0 & 1 \end{pmatrix}$$

Sferni tenzor napona ima dominantan uticaj na  
DEFORMABILNOST materijala!!!

# Devijator napona

Razlaganje tenzora napona

$$T_\sigma = T_{S(\sigma)} + D_\sigma$$



Devijator napona izražen preko komponenti napona

$$D_\sigma = T_\sigma - T_{S(\sigma)} =$$

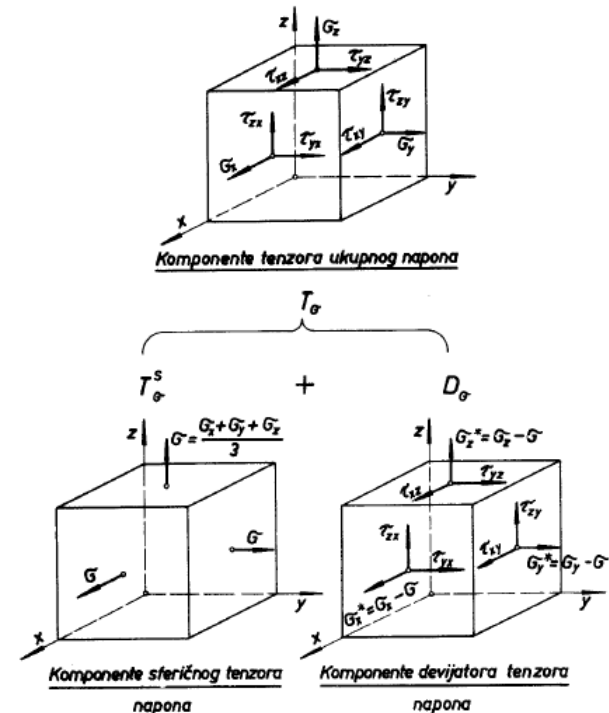
$$= \begin{Bmatrix} \sigma_x & \tau_{xy} & \tau_{xz} \\ \tau_{yx} & \sigma_y & \tau_{yz} \\ \tau_{zx} & \tau_{zy} & \sigma_z \end{Bmatrix} - \begin{Bmatrix} \sigma_m & 0 & 0 \\ 0 & \sigma_m & 0 \\ 0 & 0 & \sigma_m \end{Bmatrix} =$$

$$= \begin{Bmatrix} (\sigma_x - \sigma_m) & \tau_{xy} & \tau_{xz} \\ \tau_{yx} & (\sigma_y - \sigma_m) & \tau_{yz} \\ \tau_{zx} & \tau_{zy} & (\sigma_z - \sigma_m) \end{Bmatrix} = \begin{Bmatrix} d_x & \tau_{xy} & \tau_{xz} \\ \tau_{yx} & d_y & \tau_{yz} \\ \tau_{zx} & \tau_{zy} & d_z \end{Bmatrix}$$

$$d_x = \sigma_x - \sigma_m ; \quad d_y = \sigma_y - \sigma_m ; \quad d_z = \sigma_z - \sigma_m.$$

Devijator napona izražen preko glavnih napona

$$D_\sigma = \begin{Bmatrix} d_1 & 0 & 0 \\ 0 & d_2 & 0 \\ 0 & 0 & d_3 \end{Bmatrix} = \begin{Bmatrix} (\sigma_1 - \sigma_m) & 0 & 0 \\ 0 & (\sigma_2 - \sigma_m) & 0 \\ 0 & 0 & (\sigma_3 - \sigma_m) \end{Bmatrix} \quad d_x + d_y + d_z = d_1 + d_2 + d_3 = 0$$



# Invarijante devijatora napona

Devijator napona – promena oblika  
Sferični tenzor napona – promena zapremine

$$J_1(D\sigma) \equiv (\sigma_x - \sigma_m) + (\sigma_y - \sigma_m) + (\sigma_z - \sigma_m) = 0$$

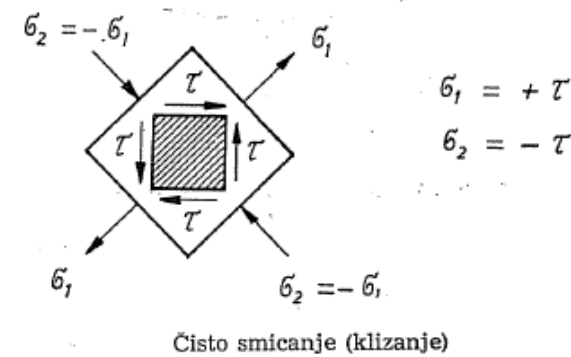
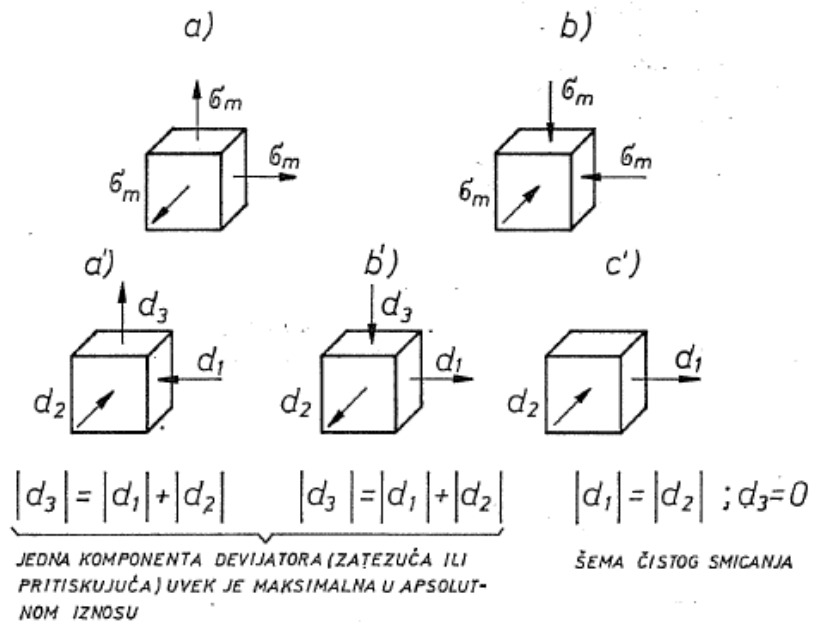
$$J_2(D\sigma) \equiv (\sigma_x - \sigma_m)(\sigma_y - \sigma_m) + (\sigma_y - \sigma_m)(\sigma_z - \sigma_m) +$$

$$+ (\sigma_z - \sigma_m)(\sigma_x - \sigma_m) - \tau_{xy}^2 - \tau_{yz}^2 - \tau_{zx}^2 =$$

$$= -\frac{1}{6} \left[ (\sigma_x - \sigma_y)^2 + (\sigma_y - \sigma_z)^2 + (\sigma_z - \sigma_x)^2 \right]^{*)} - (\tau_{xy}^2 + \tau_{yz}^2 + \tau_{zx}^2) =$$

$$= -\frac{1}{6} \left[ (\sigma_1 - \sigma_2)^2 + (\sigma_2 - \sigma_3)^2 + (\sigma_3 - \sigma_1)^2 \right] = d_1 d_2 + d_2 d_3 + d_3 d_1 = \text{const.}$$

$$J_3(D\sigma) \equiv \begin{vmatrix} d_x & \tau_{xy} & \tau_{xz} \\ \tau_{yx} & d_y & \tau_{yz} \\ \tau_{zx} & \tau_{zy} & d_z \end{vmatrix} = d_1 d_2 d_3 = \text{const.}$$



## Efektivni (ekvivalentni) napon

Ekvivalentni normalni napona  $\sigma_e$  – skalarna invarijantna veličina

$$\begin{aligned}\sigma_e &= \sqrt{3|J_2(D_\sigma)|} = \frac{\sqrt{2}}{2} \sqrt{\left(\sigma_x - \sigma_y\right)^2 + \left(\sigma_y - \sigma_z\right)^2 + \left(\sigma_z - \sigma_x\right)^2 + 6\left(\tau_{xy}^2 + \tau_{yz}^2 + \tau_{zx}^2\right)} = \\ &= \frac{\sqrt{2}}{2} \sqrt{(\sigma_1 - \sigma_2)^2 + (\sigma_2 - \sigma_3)^2 + (\sigma_3 - \sigma_1)^2}\end{aligned}$$

jednoosno naprezanje  $\rightarrow \sigma_e = \sigma_1$

Ekvivalentni smičući (tangencijalni) napona  $\tau_e$  - skalarna invarijantna veličina

$$\tau_e = \frac{1}{\sqrt{6}} \sqrt{\left(\sigma_x - \sigma_y\right)^2 + \left(\sigma_y - \sigma_z\right)^2 + \left(\sigma_z - \sigma_x\right)^2 + 6\left(\tau_{xy}^2 + \tau_{yz}^2 + \tau_{zx}^2\right)} = \frac{1}{\sqrt{6}} \sqrt{(\sigma_1 - \sigma_2)^2 + (\sigma_2 - \sigma_3)^2 + (\sigma_3 - \sigma_1)^2}$$

$$\tau_e = \sqrt{|J_2(D_\sigma)|}$$

$$\tau_o = \frac{1}{3} \sqrt{\left(\sigma_x - \sigma_y\right)^2 + \left(\sigma_y - \sigma_z\right)^2 + \left(\sigma_z - \sigma_x\right)^2 + 6\left(\tau_{xy}^2 + \tau_{yz}^2 + \tau_{zx}^2\right)} = \frac{1}{3} \sqrt{(\sigma_1 - \sigma_2)^2 + (\sigma_2 - \sigma_3)^2 + (\sigma_3 - \sigma_1)^2}$$

$$\boxed{\tau_e = \sqrt{\frac{3}{2}} \tau_o}$$

$$1,155 \approx \frac{2}{\sqrt{3}} \geq \frac{\tau_e}{|\tau_{\max}|} \geq 1$$

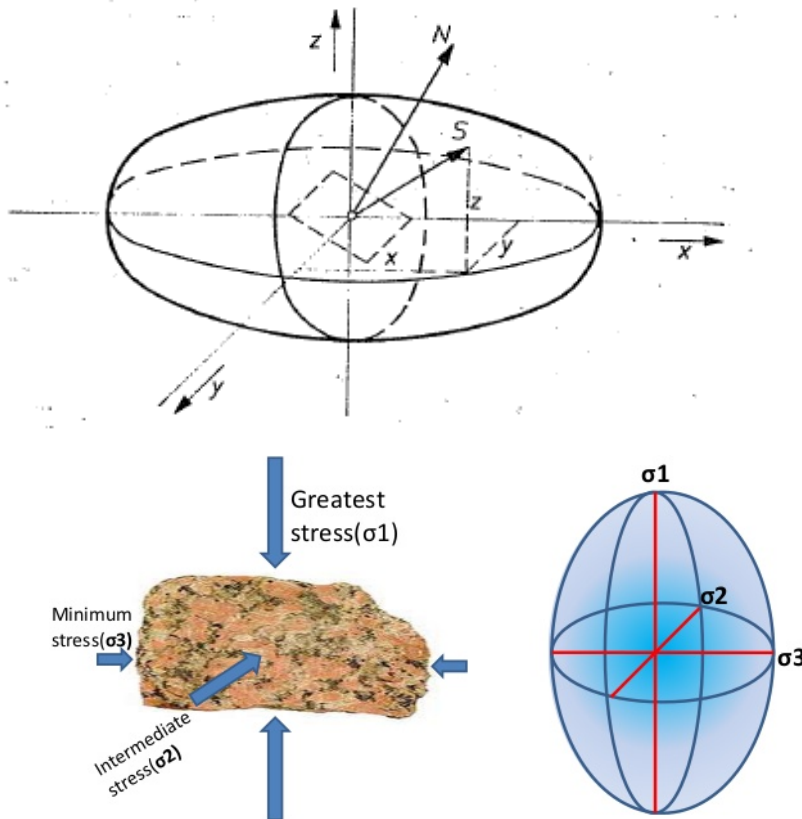
$$\boxed{\frac{\tau_e}{\sigma_e} = \frac{\sqrt{3}}{3}}$$

# Geometrijska interpretacija naponskih stanja. Elipsoid napona

Veličina ukupnog napona ( $S$ ) na proizvoljno nagnutoj ravni određena je radijus vektorom tj. poluprečnikom elipsoida.

Dužine poluosa elipsoida – vrednosti glavnih napona.

$\sigma_1 = \sigma_2 = \sigma_3$  ellipsoid  $\rightarrow$  sfera



Jednačina elipsoida

$$S_1 = \sigma_1 a_1 ; \quad S_2 = \sigma_2 a_2 ; \quad S_3 = \sigma_3 a_3$$

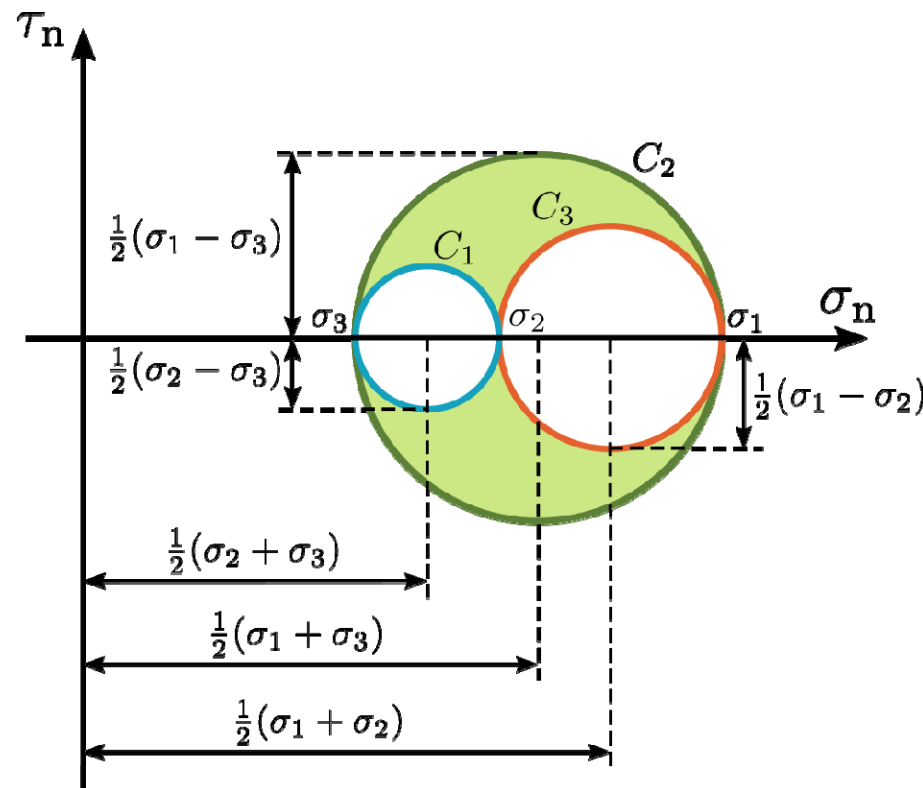
$$a_1^2 = \frac{S_1^2}{\sigma_1^2} ; \quad a_2^2 = \frac{S_2^2}{\sigma_2^2} ; \quad a_3^2 = \frac{S_3^2}{\sigma_3^2}$$

$$a_1^2 + a_2^2 + a_3^2 = 1$$

$$\frac{S_1^2}{\sigma_1^2} + \frac{S_2^2}{\sigma_2^2} + \frac{S_3^2}{\sigma_3^2} = 1$$

# Mohrovi krugovi napona

**Mohrovi krugovi** - dvodimenzionalni grafički prikaz vektora normalnog i tangencijalnog napona koje deluju na različito orijentisanim ravnima koje prolazi kroz posmatranu tačku.



Jednačine krugova

$$\sigma = \sigma_1 a_1^2 + \sigma_2 a_2^2 + \sigma_3 a_3^2$$

$$\tau^2 = S^2 - \sigma^2 = S_1^2 + S_2^2 + S_3^2 - \sigma^2$$

$$a_1^2 + a_2^2 + a_3^2 = 1$$

$$a_1^2 = \frac{\tau^2 + (\sigma - \sigma_2)(\sigma - \sigma_3)}{(\sigma_1 - \sigma_2)(\sigma_1 - \sigma_3)}$$

$$a_2^2 = \frac{\tau^2 + (\sigma - \sigma_3)(\sigma - \sigma_1)}{(\sigma_2 - \sigma_3)(\sigma_2 - \sigma_1)}$$

$$a_3^2 = \frac{\tau^2 + (\sigma - \sigma_1)(\sigma - \sigma_2)}{(\sigma_3 - \sigma_1)(\sigma_3 - \sigma_2)}$$

# Mohr-ovi krugovi napona

$$(\sigma - \sigma')^2 + \tau^2 \leq \left( \frac{\sigma_1 - \sigma_3}{2} \right)^2$$

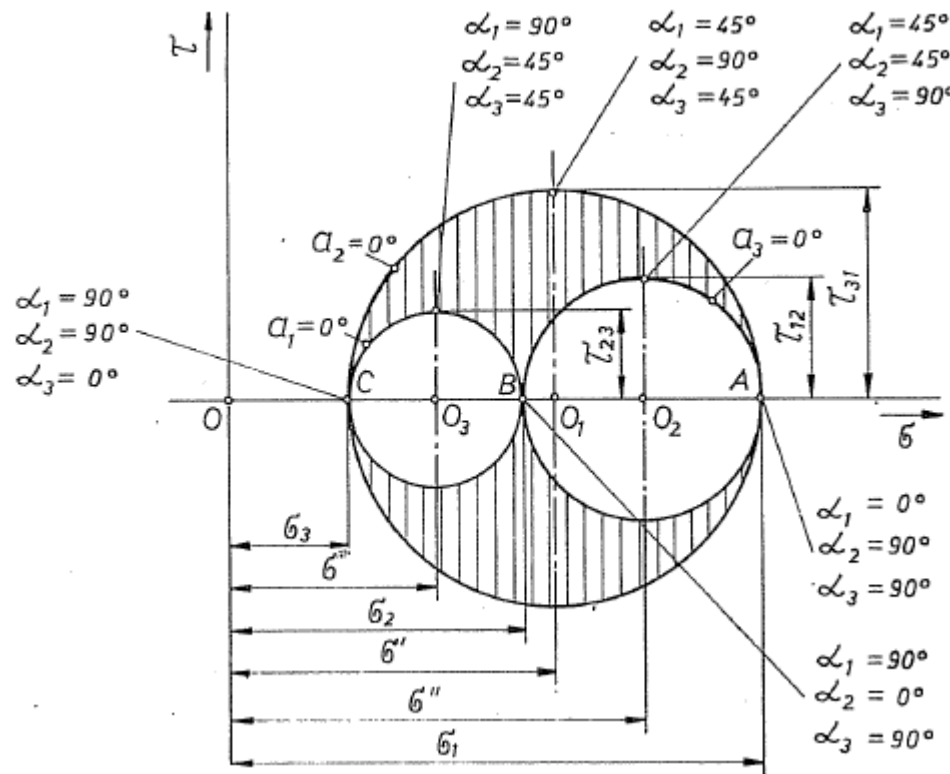
$$\sigma' = \frac{\sigma_1 + \sigma_3}{2}$$

$$(\sigma - \sigma'')^2 + \tau^2 \geq \left( \frac{\sigma_1 - \sigma_2}{2} \right)^2$$

$$\sigma'' = \frac{(\sigma_1 + \sigma_2)}{2}$$

$$(\sigma - \sigma''')^2 + \tau^2 \geq \left( \frac{\sigma_2 - \sigma_3}{2} \right)^2$$

$$\sigma''' = \frac{\sigma_2 + \sigma_3}{2}$$



Smičući napon je maksimalan u ravni za koju važi:

$$\sigma = \frac{\sigma_1 + \sigma_3}{2}$$

Poluprečnici krugova :

$$|\tau_{12}| = \frac{\sigma_1 - \sigma_2}{2}$$

$$|\tau_{13}| = \frac{\sigma_1 - \sigma_3}{2}$$

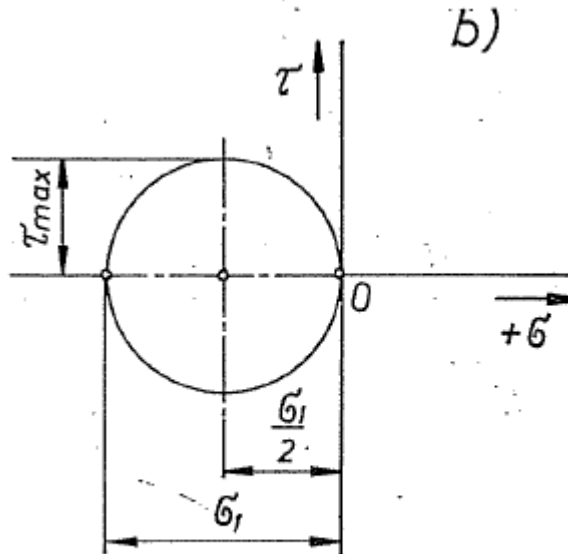
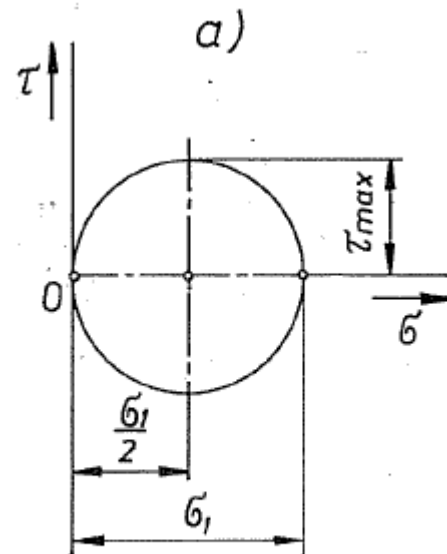
$$|\tau_{23}| = \frac{\sigma_2 - \sigma_3}{2}$$

Vrednosti glavnih napona u ravnima sa max. smičućim naponima :

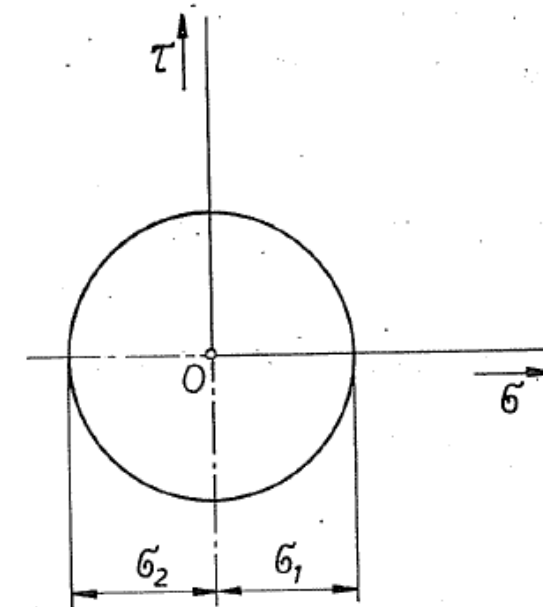
$$\frac{\sigma_2 + \sigma_3}{2}, \frac{\sigma_3 + \sigma_1}{2}, \frac{\sigma_1 + \sigma_2}{2}$$

# Mohr-ovi krugovi napona

Jednoosno naponsko stanje  $\sigma_2 = \sigma_3 = 0$ :



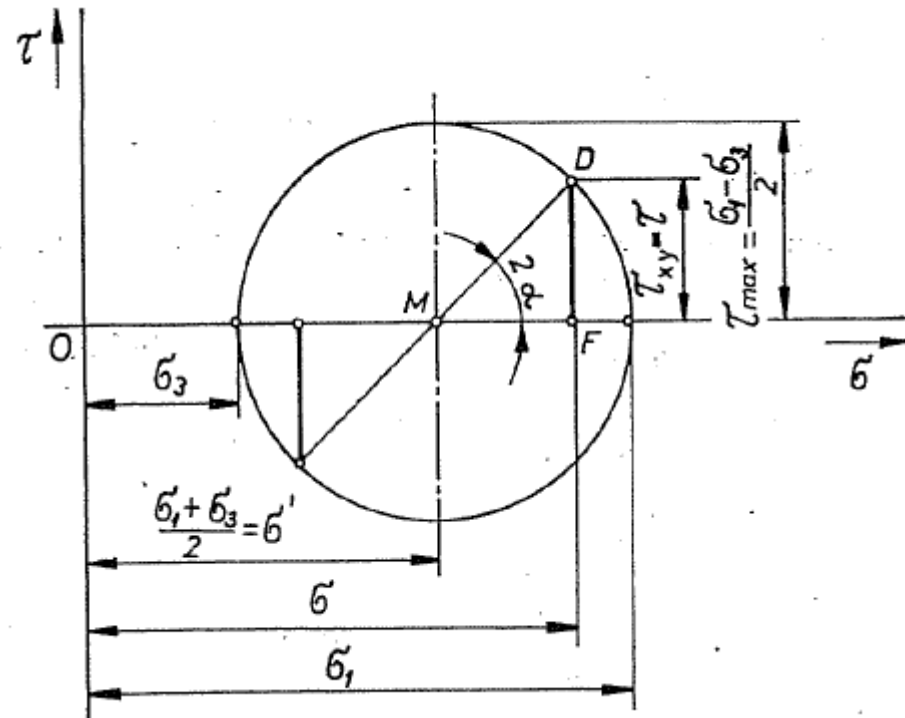
Mohr-ov krug za slučaj zatežućeg (a) i pritiskujućeg (b)  
jednoosnog naprezanja



Mohr-ov krug za slučaj čistog smicanja

## Morh-ovi krugovi napona

Ravansko naponsko stanje  $\sigma_2=0$ :

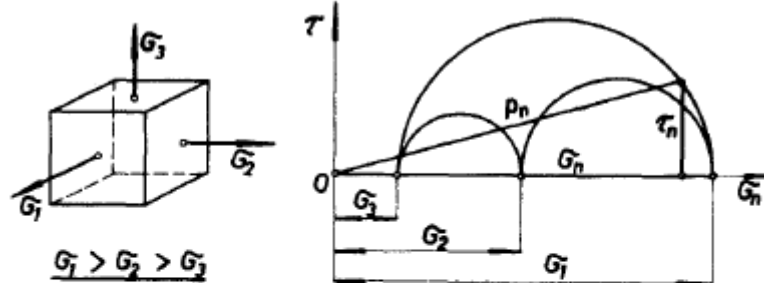


$$\tau_{max}^2 = \tau^2 + (\sigma - \sigma')^2$$

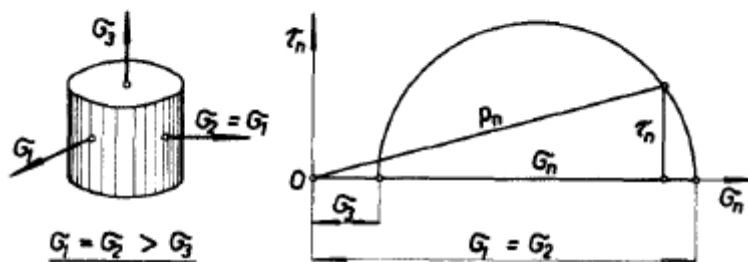
$$\overline{OF} = \sigma = \frac{\sigma_1 + \sigma_3}{2} + \frac{\sigma_1 - \sigma_3}{2} \cos 2\alpha = \sigma_1 \cos^2 \alpha + \sigma_3 \sin^2 \alpha$$

$$\overline{DF} = \tau = \frac{\sigma_1 - \sigma_3}{2} \sin 2\alpha$$

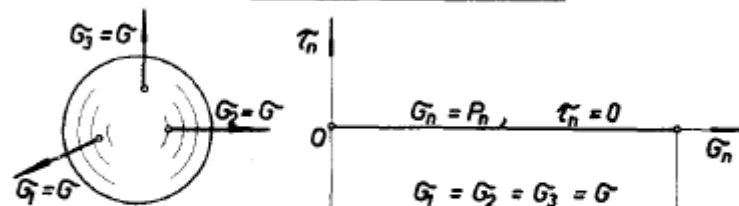
# Morh-ovi krugovi napona



a. Opšti slučaj naponskog stanja



b. Rotaciono naponsko stanje



c. Sferično naponsko stanje

NAPONSKA STANJA U FUNKCIJI OD ODNOSA

GLAVNIH NORMALNIH NAPONA

# Koeficijent napona (Mohr-Rosenberg-ov dijagram)

Koeficijent napona  $v_\sigma$

$$v_\sigma = \frac{\overline{O_1B}}{\overline{O_1A}} = \frac{\frac{\sigma_2 - \frac{\sigma_1 + \sigma_3}{2}}{2}}{\frac{\sigma_1 - \sigma_3}{2}} = \frac{2\sigma_2 - \sigma_1 - \sigma_3}{\sigma_1 - \sigma_3}$$

$$-1 \leq v_\sigma \leq 1$$

$$v_\sigma = \frac{\frac{\sigma_{sr} - \frac{\sigma_{max} + \sigma_{min}}{2}}{2}}{\frac{\sigma_{max} - \sigma_{min}}{2}} = \frac{2\sigma_{sr} - \sigma_{max} - \sigma_{min}}{\sigma_{max} - \sigma_{min}}$$

$$\sigma_1 = \sigma_2 \text{ (tj. } \sigma_{sr} = \sigma_{max}) : \quad v_\sigma = 1$$

$$\sigma_2 = \sigma_{sr} = \frac{1}{2}(\sigma_1 + \sigma_2) = \frac{1}{2}(\sigma_{max} + \sigma_{min}) : \quad v_\sigma = 0$$

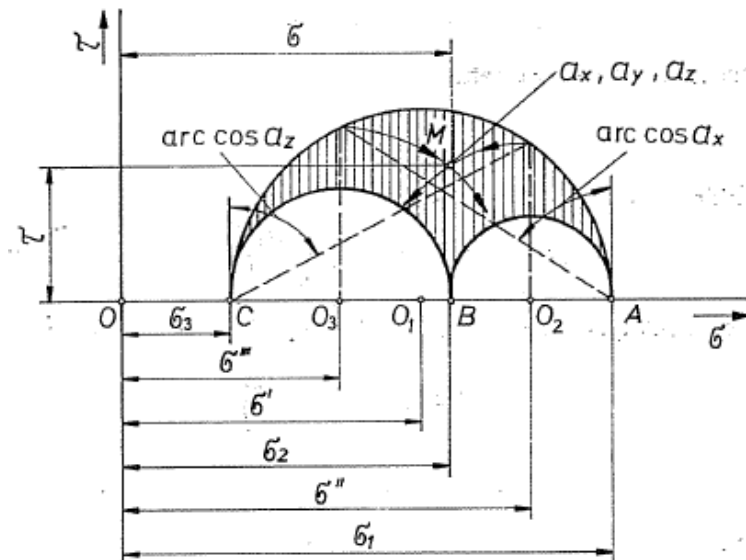
$$\sigma_2 = \sigma_3 \text{ (tj. } \sigma_{sr} = \sigma_{min}) : \quad v_\sigma = -1$$

$$\sigma_2 = v_\sigma \left( \frac{\sigma_1 - \sigma_3}{2} \right) + \frac{\sigma_1 + \sigma_3}{2}$$

zatezanje  $\rightarrow -1 \leq v_\sigma \leq 0$

pritisak  $\rightarrow 0 \leq v_\sigma \leq 1$

čisto smicanje (uvijanje)  $\rightarrow v_\sigma = 0$



# Ugao naponskog stanja

Koeficijent  $C_\sigma$

$$|\tau_{13}| = |\tau_{\max}| = \frac{|\sigma_1 - \sigma_3|}{2}$$

$$\sigma_1 - \sigma_3 = 2 |\tau_{\max}|$$

$$\begin{aligned}\tau_e &= \frac{1}{\sqrt{6}} \sqrt{(\sigma_1 - \sigma_2)^2 + (\sigma_2 - \sigma_3)^2 + (\sigma_3 - \sigma_1)^2} = \\ &= \frac{1}{\sqrt{6}} \frac{2}{\sqrt{2}} |\tau_{\max}| \sqrt{\nu_\sigma^2 + 3}\end{aligned}$$

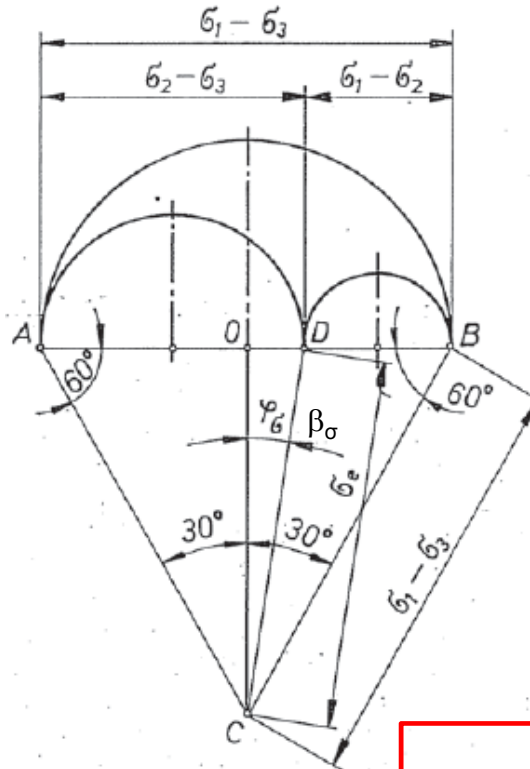
$$|\tau_{\max}| = \frac{\tau_e \sqrt{3}}{\sqrt{\nu_\sigma^2 + 3}}$$

$$C_\sigma = \frac{\tau_e}{|\tau_{\max}|} = \sqrt{\frac{\nu_\sigma^2}{3} + 1}$$

$$1,155 \geq C_\sigma \geq 1$$

$$0,941 \approx \frac{2\sqrt{2}}{3} \geq \frac{|\tau_0|}{|\tau_{\max}|} \geq \sqrt{\frac{2}{3}} \approx 0,816$$

Ugao naponskog stanja  $\varphi_\sigma = \beta_\sigma$



$$\overline{OA} = \overline{OB} = \frac{\sigma_1 - \sigma_3}{2}$$

$$\overline{OC} = \frac{\sqrt{3}}{2} (\sigma_1 - \sigma_3)$$

$$\overline{DC} = \frac{1}{\sqrt{2}} \sqrt{(\sigma_1 - \sigma_2)^2 + (\sigma_2 - \sigma_3)^2 + (\sigma_3 - \sigma_1)^2} = \sigma_e$$

$$\overline{OD} = \sigma_2 - \frac{\sigma_1 + \sigma_3}{2}$$

$$\tan \varphi_\sigma = \frac{\overline{OD}}{\overline{OC}} = \frac{\sigma_2 - \frac{\sigma_1 + \sigma_3}{2}}{\sqrt{\frac{\nu_\sigma^2}{3} \frac{\sigma_1 - \sigma_3}{2}}} = \frac{\nu_\sigma}{\sqrt{3}}$$

# Vidovi naponskih stanja

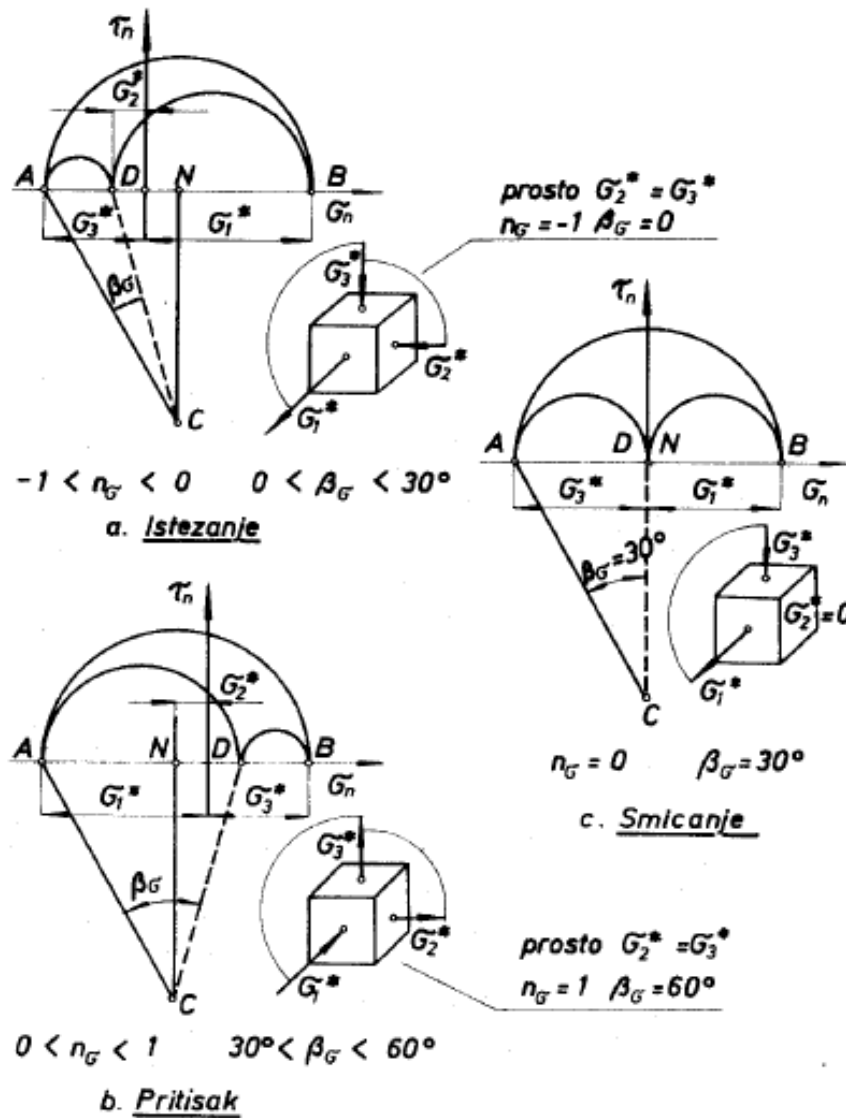
$$v_{\sigma} = n_{\sigma}$$

$$\varphi_{\sigma} = \beta_{\sigma}$$

zatezanje  $\rightarrow -1 \leq v_{\sigma} \leq 0$

pritisak  $\rightarrow 0 \leq v_{\sigma} \leq 1$

čisto smicanje (uvijanje)  $\rightarrow v_{\sigma} = 0$



VIDOVI NAPONSKIH STANJA NA OSNOVU OSNOVNIH  
KOMPONENTA DEVIJATORA TENZORA NAPONA